



VYSOKÉ UČENÍ TECHNICKÉ V BRNĚ

BRNO UNIVERSITY OF TECHNOLOGY

FAKULTA STAVEBNÍ

FACULTY OF CIVIL ENGINEERING

ÚSTAV STAVEBNÍ MECHANIKY

INSTITUTE OF STRUCTURAL MECHANICS

STATICKÁ ANALÝZA ŽELEZNIČNÍHO MOSTU

STATIC ANALYSIS OF RAILWAY BRIDGE

BAKALÁŘSKÁ PRÁCE

BACHELOR'S THESIS

AUTOR PRÁCE

AUTHOR

Vojtěch Bureš

VEDOUCÍ PRÁCE

SUPERVISOR

Ing. ZBYNĚK VLK, Ph.D.

BRNO 2022



VYSOKÉ UČENÍ TECHNICKÉ V BRNĚ

FAKULTA STAVEBNÍ

Studijní program	B3607 Stavební inženýrství
Typ studijního programu	Bakalářský studijní program s prezenční formou studia
Studijní obor	3647R013 Konstrukce a dopravní stavby
Pracoviště	Ústav stavební mechaniky

ZADÁNÍ BAKALÁŘSKÉ PRÁCE

Student	Vojtěch Bureš
Název	Statická analýza železničního mostu
Vedoucí práce	Ing. Zbyněk Vlček, Ph.D.
Datum zadání	30. 11. 2021
Datum odevzdání	27. 5. 2022

V Brně dne 30. 11. 2021

prof. Ing. Drahoř Novák, DrSc.
Vedoucí ústavu

prof. Ing. Miroslav Bajer, CSc.
Děkan Fakulty stavební VUT

PODKLADY A LITERATURA

Normy :

ČSN EN 1991-1 Zatížení konstrukcí

ČSN EN 1991-2 Zatížení mostů dopravou.

Bittnar Z., Šejnoha J. - Numerické metody mechaniky 1,2

Kadlčák J., Kytýr J. : Statika stavebních konstrukcí I a II

ZÁSADY PRO VYPRACOVÁNÍ

Cílem práce je statická analýza železničního mostu. Pro konkrétní konstrukci mostního objektu budou vytvořeny různé modely s různým zjednodušením. Jednoduché modely budou analyzovány pomocí ručních výpočtů, ostatní pomocí vybraného software. Získané výsledky budou vzájemně porovnány.

STRUKTURA BAKALÁŘSKÉ PRÁCE

VŠKP vypracujte a rozčleňte podle dále uvedené struktury:

1. Textová část závěrečné práce zpracovaná podle platné Směrnice VUT "Úprava, odevzdávání a zveřejňování závěrečných prací" a platné Směrnice děkana "Úprava, odevzdávání a zveřejňování závěrečných prací na FAST VUT" (povinná součást závěrečné práce).

2. Přílohy textové části závěrečné práce zpracované podle platné Směrnice VUT "Úprava, odevzdávání, a zveřejňování závěrečných prací" a platné Směrnice děkana "Úprava, odevzdávání a zveřejňování závěrečných prací na FAST VUT" (nepovinná součást závěrečné práce v případě, že přílohy nejsou součástí textové části závěrečné práce, ale textovou část doplňují).

Ing. Zbyněk Vlk, Ph.D.
Vedoucí bakalářské práce

ABSTRAKT

Bakalářská práce se zabývá statickou analýzou železničního mostu. Pomocí softwaru AxisVM X6 jsem vytvořil 4 různé modely a porovnal je nejen mezi sebou, ale také s jednoduchými ručními výpočty. Dva modely jsou prutové, třetí je deskostěnový, čtvrtý je také deskostěnový ale s krajní římsou, která ztužuje celou konstrukci.

Konstrukce jsou zatíženy ručně spočítaným zatížením dle normy.

KLÍČOVÁ SLOVA

železniční most, program AxisVM X6, prutový model, deskostěnový model, zatížení, napětí

ABSTRACT

The bachelor thesis deals with the static analysis of a railway bridge. Using AxisVM X6 software, I created 4 different models and compared them not only with each other, but also with simple manual calculations. Two models are beam models, the third is shell model, the fourth is also shell but with an end ledge that reinforces the entire structure.

The structures are loaded by a manually calculated load according to the standard.

KEYWORDS

railway bridge, software AxisVM X6, beam model, shell model, load, tension

BIBLIOGRAFICKÁ CITACE

Vojtěch Bureš *Statická analýza železničního mostu*. Brno, 2022. 51 s., 0 s. příl.
Bakalářská práce. Vysoké učení technické v Brně, Fakulta stavební, Ústav stavební
mechaniky. Vedoucí práce Ing. Zbyněk Vlček, Ph.D.

PROHLÁŠENÍ O SHODĚ LISTINNÉ A ELEKTRONICKÉ FORMY ZÁVĚREČNÉ PRÁCE

Prohlašuji, že elektronická forma odevzdané bakalářské práce s názvem *Statická analýza železničního mostu* je shodná s odevzdanou listinnou formou.

V Brně dne 24. 5. 2022

Vojtěch Bureš
autor práce

PROHLÁŠENÍ O PŮVODNOSTI ZÁVĚREČNÉ PRÁCE

Prohlašuji, že jsem bakalářskou práci s názvem *Statická analýza železničního mostu* zpracoval samostatně a že jsem uvedl všechny použité informační zdroje.

V Brně dne 24. 5. 2022

Vojtěch Bureš
autor práce

PODĚKOVÁNÍ

V první řadě bych chtěl poděkovat vedoucímu mé bakalářské práce Ing. Zbyňku Vlčkovi, Ph.D. za jeho cenné rady a ochotu podílet se na této práci. Dále mé rodině a mým kolegům za veškerou podporu.

OBSAH

1	ÚVOD.....	10
2	KONSTRUKCE	11
2.1	CHARAKTERISTIKA KONSTRUKCE	11
2.2	MODELY KONSTRUKCE.....	12
2.3	PRŮŘEZY.....	14
2.3.1	MATERIÁLOVÉ VLASTNOSTI.....	14
3	ZATÍŽENÍ.....	16
3.1	ZATÍŽENÍ STÁLÉ	16
3.1.1	VLASTNÍ TÍHA	16
3.1.2	OSTATNÍ STÁLÉ	16
3.2	PROMĚNNÁ ZATÍŽENÍ	16
3.2.1	ZATÍŽENÍ OD DOPRAVY.....	17
3.2.2	ZATÍŽENÍ VĚTREM	21
3.3	KOMBINACE ZATÍŽENÍ	21
4	PŘÍČINKOVÁ ČÁRA	22
4.1	METODY ŘEŠENÍ PŘÍČINKOVÝCH ČAR.....	22
4.1.1	KINEMATICKÁ DEFINICE A TVAR PŘÍČINKOVÉ ČÁRY	22
4.1.2	POROVNÁNÍ METOD A MODELU	22
4.2	ROZBOR ÚČINKŮ POHYBLIVÉHO ZATÍŽENÍ.....	24
4.2.1	WINKLEROVO KRITÉRIUM.....	24
4.2.2	BŘEMENOVÉ KRITÉRIUM	25
4.2.3	ŠOLÍNOVO KRITÉRIUM.....	27
5	PRŮHYB OHÝBANÝCH NOSNÍKŮ A POOTOČENÍ PRŮŘEZU	29
5.1	MOHROVA METODA	29
5.2	CLEBSHOVA METODA.....	32
6	POROVNÁNÍ MODELŮ	39
6.1	NAPĚTÍ.....	42
7	ZÁVĚR	47

8	SEZNAM POUŽITÉ LITERATURY.....	48
9	SEZNAM OBRAZOVÝCH PŘÍLOH	49
10	SEZNAM TABULEK	51

1 ÚVOD

Cílem této bakalářské práce je zpracování statické analýzy železničního mostu a porovnání několika modelů. Předlohou pro mou bakalářskou práci je most, který je zatím ve stupni projektové dokumentace pro územní rozhodnutí. Železniční most by měl nahradit stávající železobetonovou konstrukci na trati Albrechtice – Český Těšín v Moravskoslezském kraji.

Na trati vedou 3 koleje, most je složen tedy ze 3 nosných konstrukcí. Pro bakalářskou práci jsem vypracoval 1 nosnou konstrukci.

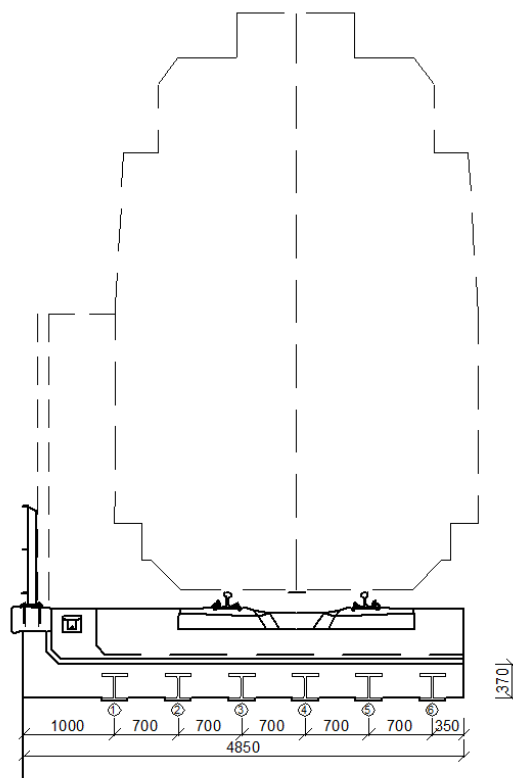
Zatížení je spočítané ručně. Patří sem stálé zatížení a proměnné zatížení od dopravy a větru. Konstrukce byly vymodelovány v programu AxisVM X6.

2 KONSTRUKCE

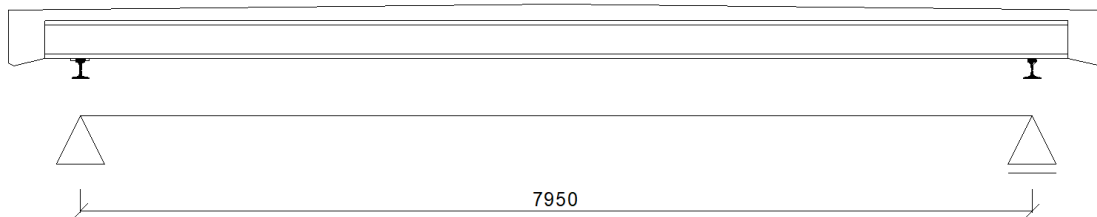
2.1 CHARAKTERISTIKA KONSTRUKCE

„Jedná se o most se zabetonovanými ocelovými nosníky, který je jedním z nejpoužívanějších nosných konstrukcí pro malá a střední rozpětí (cca do 25 m). Jeho hlavní výhodou je malá stavební výška, jednoduché konstrukční řešení, jednoduché provádění a krátká doba výstavby. Nevýhodou jsou vyšší ekonomické náklady oproti jiným srovnatelným konstrukcím, jako je například železobetonový nebo předpjatý beton.“ [1]

Mnou počítaný most se nachází v Moravskoslezském kraji, v obci Albrechtice na železniční trati Albrechtice – Český Těšín ev. km 9,640. Most je dlouhý 13,6 m, rozpětí nosné konstrukce činí 7,95 m. Šířka celého mostu je 14 m a skládá se z třech nosných konstrukcí. Počítaná konstrukce má šířku 4,850 m (viz obr. 1). Most se nachází na poddolovaném území, kvůli tomu je zde nevhodné umístit staticky neurčitou konstrukci (jako např. polorám nebo deska uložená na ozub). Zvolil jsem tedy staticky určitý prostý nosník uložený na kolejnici viz obr. 2.



Obrázek 1. Příčný řez mostu

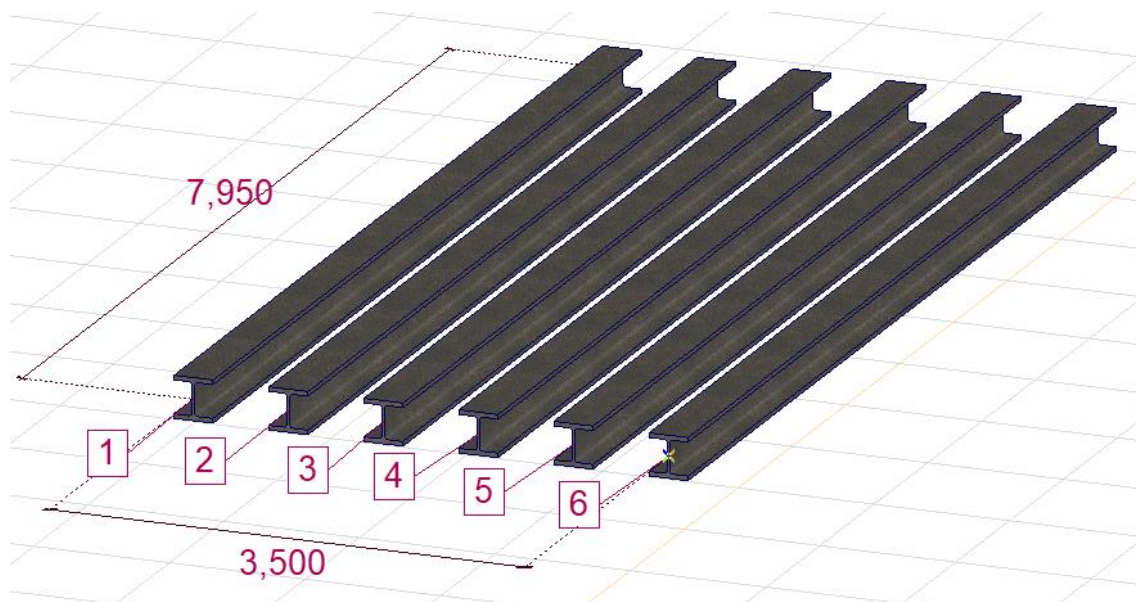


Obrázek 2. Statické schéma konstrukce

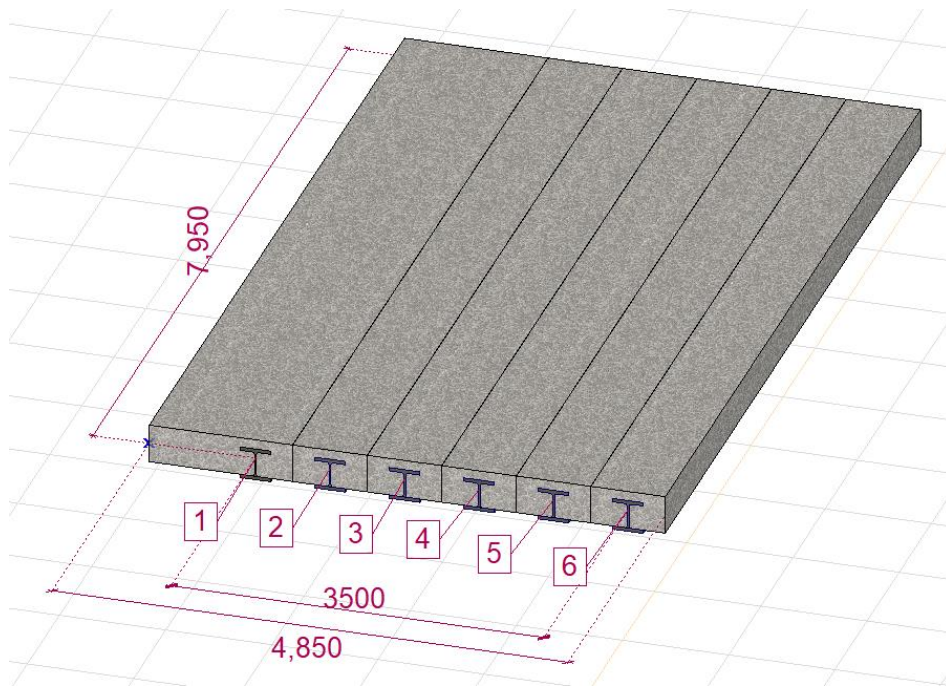
2.2 MODELY KONSTRUKCE

Vytvořil jsem 4 modely, jejichž výsledky byly dále porovnány. U prvního prutového modelu (dále jen „Model č. 1“) mají nosnou funkci pouze ocelové nosníky, u druhého prutového modelu (dále jen „Model č. 2“) plní nosnou funkci jak ocelový průřez, tak beton ve spolupůsobící šířce. Třetí model byl vytvořen jako deskostěnový (dále jen „Model č. 3“) a čtvrtý model je deskostěnový jako model č. 3 se ztužující římsou na levém okraji konstrukce (dále jen „Model č. 4“). Všechny čtyři modely byly vytvořeny v programu AxisVM X6.

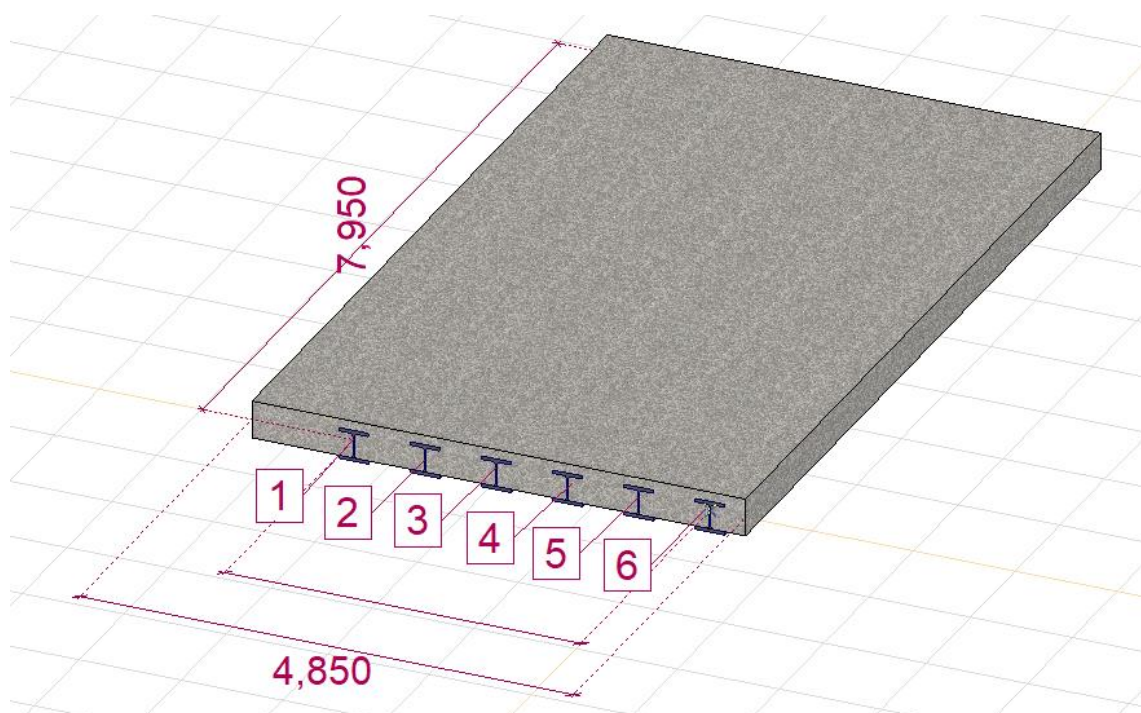
Bylo potřeba spočítat zatížení dle ČSN EN 1991-1 Zatížení konstrukcí, ČSN EN 1991-2 Zatížení mostů dopravy. Zatížení se podrobněji věnuji ve 3. kapitole.



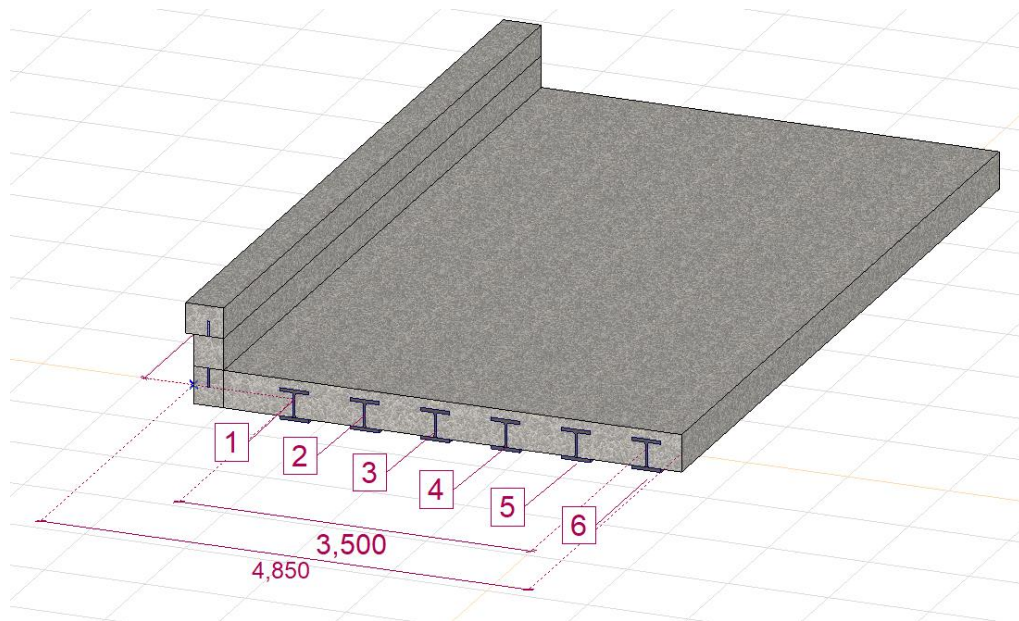
Obrázek 3. Model č.1



Obrázek 4. Model č. 2



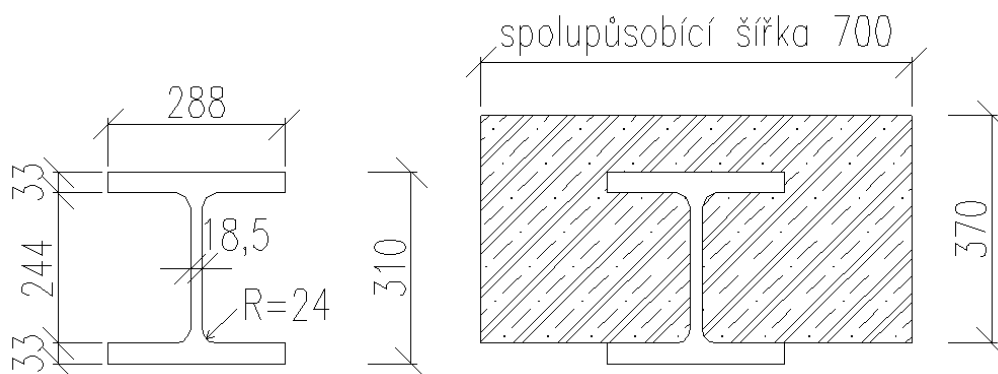
Obrázek 5. Model č. 3



Obrázek 6. Model č. 4

2.3 PRŮŘEZY

Pro ocelové nosníky jsem zvolil válcované HE profily HEM 280 z oceli S355, pro desku beton C30/37.



Obrázek 7. Použité průřezy

2.3.1 MATERIÁLOVÉ VLASTNOSTI

Beton:

$$E_{c,1} = 32,8 \text{ GPa}$$

$$I_{c,1} = \frac{1}{12} \times b \times h^3 = \frac{1}{12} \times 0,7 \times 0,37^3 = 2,955 \times 10^{-3} \text{ m}^4$$

Ocel:

$$E_{s,1} = 210 \text{ GPa}$$

$$I_{c,1} = 3,95 \times 10^{-4} m^4$$

V 5. kapitole u modelu č. 2 jsem použil momenty setrvačnosti vypočítané vzhledem k celkovému těžišti průřezu pomocí Steinerovy věty.

$$I_{c,2} = 2,968 \times 10^{-3} m^4$$

$$E_{c,2} = 32,8 \times 10^9 Pa$$

$$I_{s,2} = 4,622 \times 10^{-4} m^4$$

$$E_{s,2} = 210 \times 10^9 Pa$$

$$(EI)_2 = I_{c,2} \times E_{c,2} + I_{s,2} \times E_{s,2} = 1,944 \times 10^8 Nm^2$$

3 ZATÍŽENÍ

3.1 ZATÍŽENÍ STÁLÉ

3.1.1 VLASTNÍ TÍHA

Vlastní tíha byla vygenerována softwarem, pro ocelový průřez $G_s=1,85$ kN/m. Pro betonovou desku $G_c=9,07$ kN/m.

3.1.2 OSTATNÍ STÁLÉ

Mezi ostatní stálo zatížení patří kolejové lože, železniční svršek a asfaltová izolace.

Přepočítání ostatního stálého zatížení na nosník č. 5.

Kolejové lože: $\gamma_{kl}= 20$ kN/m³

$$h= 0,55 \text{ m}$$

$$b= 0,7 \text{ m}$$

$$G_{KL} = 20 \times 0,55 \times 0,7 = 7,7 \text{ kN/m}$$

Železniční svršek: $\gamma_{zs}= 6$ kN/m

$$\text{roznos}= 3,535 \text{ m}$$

$$b= 0,7 \text{ m}$$

$$G_{zs} = \frac{6}{3,535} \times 0,7 = 1,188 \text{ kN/m}$$

Asfaltová izolace: $\gamma_{al}= 25$ kN/m³

$$t= 0,06 \text{ m}$$

$$b= 0,7 \text{ m}$$

$$G_{AI} = 25 \times 0,06 \times 0,7 = 1,05 \text{ kN/m}$$

3.2 PROMĚNNÁ ZATÍŽENÍ

DYNAMICKÝ SOUČINITEL

Zatížení musíme dále vynásobit dynamickým součinitelem ϕ_3 , pro standartně udržovanou kolej. [2]

$$\phi_3 = \frac{2,16}{\sqrt{L_\phi - 0,2}} + 0,73 = \frac{2,16}{\sqrt{7,95 - 0,2}} + 0,73 = 1,555$$

3.2.1 ZATÍŽENÍ OD DOPRAVY

Mezi zatížení od dopravy patří:

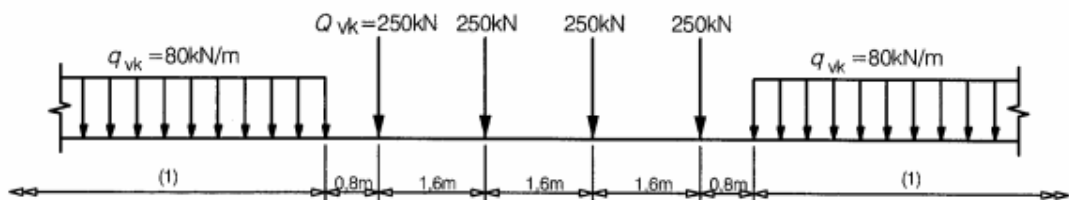
- Svislá zatížení – model LM71
- Svislé zatížení pro zemní těleso
- Dynamické účinky
- Odstředivé síly
- Boční ráz
- Rozjezdové a brzdové síly
- Aerodynamické zatížení od projíždějících vlaků
- Zatížení od trakčního vedení

Zatížení budu uvažovat jen následující:

- Svislá zatížení – model LM71
- Boční ráz

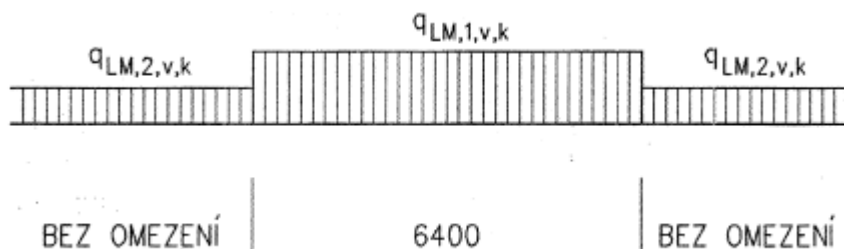
3.2.1.1 MODEL ZATÍŽENÍ LM71

Model zatížení 71 reprezentuje statický účinek svislého zatížení od běžné železniční dopravy dle obr. 8. Charakteristické hodnoty se musí násobit součinitelem α na tratích, které jsou určeny pro těžší nebo lehčí dopravu, než je běžná železniční doprava. [2]

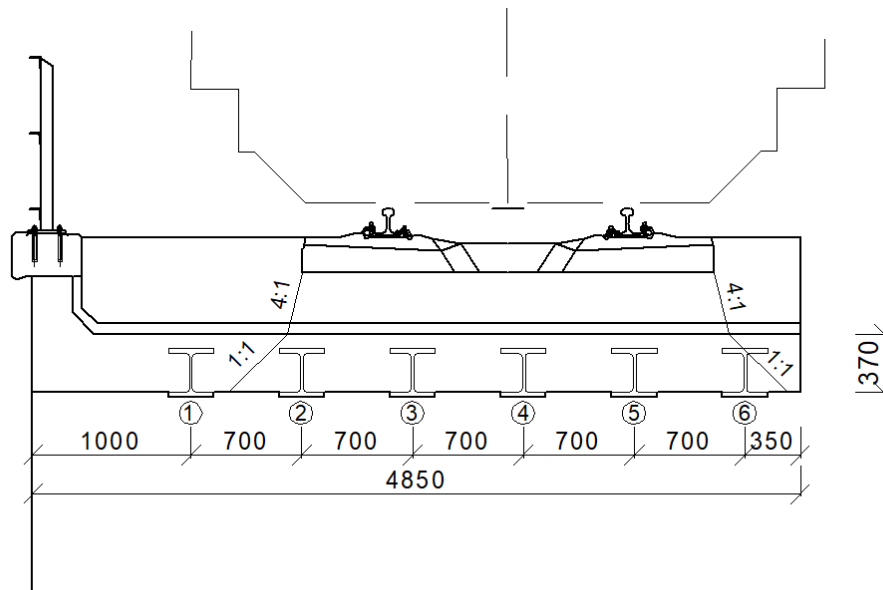


Obrázek 8. Model LM-71

Roznos zatížení uvažujeme 4:1 přes kolejové lože po hranu železobetonové desky a dále 1:1 až po horní hranu dolní pásnice HEM profilu dle obr. 10. Zatížení bude vypadat dle obr. 9.

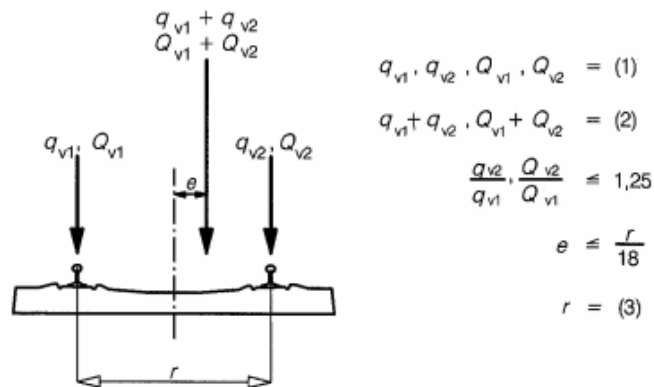


Obrázek 9. Skutečný roznos zatížení



Obrázek 10. Roznos přes kolejové lože a desku

- $q_{LM,2,v,k} = 80 \times \alpha \times \Phi_3 = 80 \times 1,21 \times 1,555 = 150,524 \text{ kN/m}$
- $q_{LM,1,v,k} = \frac{4 \times Q_{vk}}{6,4} \times \alpha \times \Phi_3 = \frac{4 \times 250}{6,4} \times 1,21 \times 1,555 = 293,992 \text{ kN/m}$
- $\Rightarrow q_{LM,2,v,k} = \frac{80}{br} \times \alpha \times \Phi_3 = \frac{80}{3,54} \times 1,21 \times 1,555 = 45,521 \text{ kN/m}^2$
- $\Rightarrow q_{LM,1,v,k} = \frac{4 \times Q_{vk}}{6,4 \times br} \times \alpha \times \Phi_3 = \frac{4 \times 250}{6,4 \times 3,54} \times 1,21 \times 1,555 = 83,049 \text{ kN/m}^2$

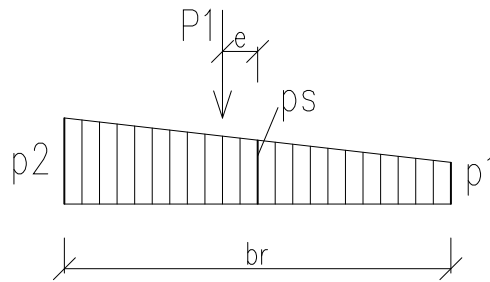


Obrázek 11. Excentricita zatížení od vlaku

Dále zde musíme uvažovat excentricitu svislého zatížení. Účinek bočního (příčného) posunutí svislých zatížení se musí uvažovat poměrem kolových zatížení u všech náprav dle obr. 11.

- $r=1500 \text{ mm}$

$$e = \frac{1500}{18} = 83,33 \text{ mm}$$



Obrázek 12. Pořadnice

Jelikož se posune těžiště zatěžovacího obrazce o 83 mm, změní se i zatěžovací plocha z obdélníka na lichoběžník (viz obr.12). Výsledné zatížení spočítáme pomocí pořadnic. Pro zohlednění vlivu excentricity je zvolena jednotková nápravová síla $P_1=1$ kN.

$$M_1 = P_1 \times e = 1 * 0,083 = 0,083 \text{ kNm}$$

	pořadnice $k_i = \frac{p_i}{p_s}$
$p_1 = \frac{P_1}{b_r \cdot 1} - \frac{6 \cdot M_1}{b_r^2 \cdot 1} = \frac{1}{3,54 \cdot 1} - \frac{6 \cdot 0,083}{3,54^2 \cdot 1} = 0,242746 \text{ kN/m}^2$	$k_1 = 0,859320$
$p_2 = \frac{P_1}{b_r \cdot 1} + \frac{6 \cdot M_1}{b_r^2 \cdot 1} = \frac{1}{3,54 \cdot 1} + \frac{6 \cdot 0,083}{3,54^2 \cdot 1} = 0,322225 \text{ kN/m}^2$	$k_2 = 1,140676$
$p_s = \frac{P_1}{b_r \cdot 1} = \frac{1}{3,54 \cdot 1} = 0,282486 \text{ kN/m}^2$	$k_s = 1,0000$

Tabulka 1. Pořadnice zatížení

$$q_{LM,2,v,k,1} = q_{LM,2,v,k} \times k_1 = 45,521 \times 0,859320 = 39,117 \text{ kN/m}^2$$

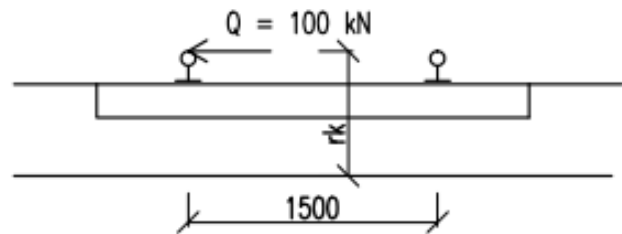
$$q_{LM,2,v,k,2} = q_{LM,2,v,k} \times k_2 = 45,521 \times 1,140676 = 51,925 \text{ kN/m}^2$$

$$q_{LM,1,v,k,1} = q_{LM,1,v,k} \times k_1 = 83,049 \times 0,859320 = 71,366 \text{ kN/m}^2$$

$$q_{LM,1,v,k,2} = q_{LM,1,v,k} \times k_2 = 83,049 \times 1,140676 = 94,732 \text{ kN/m}^2$$

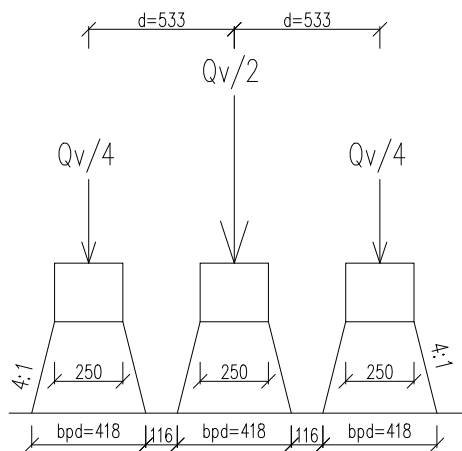
3.2.1.2 BOČNÍ RÁZ

Uvažujeme osamělou sílu, působící vodorovně v úrovni temene kolejnic kolmo na osu koleje. Charakteristická hodnota $Q_{sk}=100$ kN.

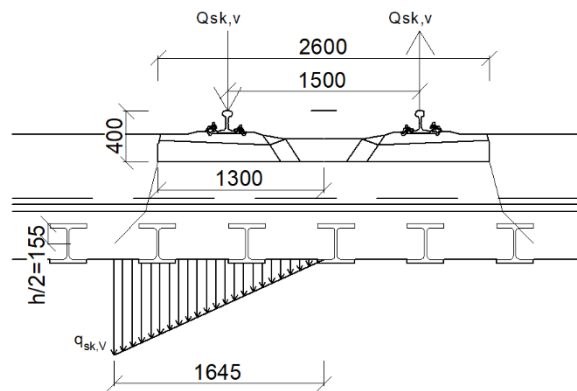


Obrázek 13. Boční ráz

Roznos zatížení budeme uvažovat dle obr 14 a 15. do poloviny výšky ocelového nosníku. Uvažujme bod otáčení na středu dolní hrany prážce. Moment vyvolaný osamělou silou můžeme nahradit 2 silami.



Obrázek 14. Roznos bočního rázu v podélném směru



Obrázek 15. Roznos bočního rázu v příčném směru

Jedna, která tlačí levou půlku a druhá, která tahá pravou půlku prážce. Pravou taženou část zanedbáme a budeme uvažovat pouze s tlačnou částí. Stejně tak spočítáme i zatížení větrem.

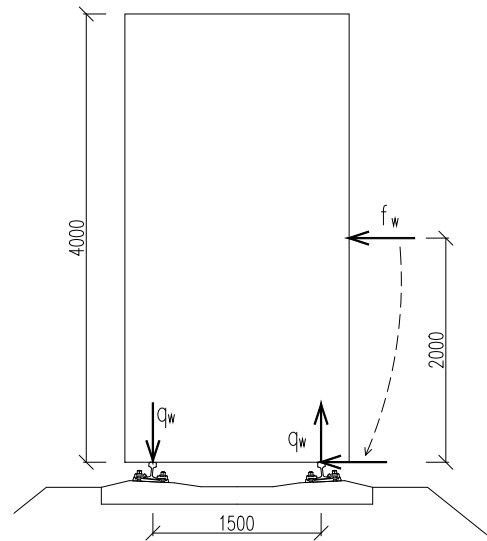
$$Q_{sk,v} = Q \times \alpha \times \frac{0,4}{1,5} = 100 \times 1,21 \times \frac{0,4}{1,5} = 32,266 \text{ kN}$$

$$q_{sk,v} = \frac{Q_{sk,v}}{0,5 \times b_{př} \times b_{pod}} = \frac{32,266}{0,5 \times 1,645 \times 1,685} = 23,282 \text{ kN/m}^2$$

3.2.2 ZATÍŽENÍ VĚTREM

Jedná se o vliv větru vanoucího kolmo na kolejové vozidlo nad mostem. Pro výpočet síly větru je použita zjednodušená metoda.

Byla použita normou doporučená hodnota součinitele zatížení větrem C pro mosty. Sílu větru je vypočítána na výšku vozidla 4,0 m a uvažována na metr běžný koleje. Maximální hodnota rychlosti větru, která se uvažuje při zatížení kolejovou dopravou, je 22,5 m/s. [3]



Obrázek 16. Zatížení od větru

$$f_w = \frac{1}{2} \cdot \rho \cdot v_b^2 \cdot C \cdot A_{ref} =$$
$$\frac{1}{2} \cdot 1,25 \cdot 22,5^2 \cdot 2,21 \cdot 4 = 2,80 \text{ kN/m}$$

Toto spojitě vodorovné zatížení působí ve výšce 2,0 m nad temenem kolejnice a na nosnou konstrukci působí ve směru vodorovném i ve směru svislém. Svislá složka je vyvolaná excentricitou $r_k = 2 + 0,4 = 2,4$ m, což je vzdálenost působící síly a spodní hrany pražce.

$$q_w = f_w \cdot \frac{r_k}{1,3} = 2,80 \cdot \frac{2,4}{1,3} = 5,170 \text{ kN/m}$$
$$q_{wV} = \frac{q_w}{b_f \cdot 0,5} = \frac{5,170}{1,646 \cdot 0,5} = 6,282 \text{ kN/m}^2$$

3.3 KOMBINACE ZATÍŽENÍ

Jako kombinaci jsem sečetl jednotlivé zatěžovací stavy bez součinitelů, vždy se stejným účinkem, např. „Vlak_0,50_P + boční ráz_0,50_P + vítr_0,50_P + stálé zatížení“. Kombinaci zatížení jsem použil v kapitole 6.1.

4 PŘÍČINKOVÁ ČÁRA

Nejen se stálým zatížením se můžeme setkat u stavebních konstrukcí. Další zatížení, které zde působí, je pohyblivé zatížení, které mění svou polohu na konstrukci. V mém případě je to spojitě zatížení způsobené vlakem. Tento účinek můžeme řešit pomocí příčinkové čáry.

„Příčinková čára S_x statické veličiny S (ohybového momentu M , posouvající síly V , normálové síly N , reakce R) pro průřez x nosníku je čára, jejíž pořadnice η v libovolném místě u udává hodnotu veličiny S v průřezu x nosníku od břemen $F = 1$ působící v místě u .“ [4]

4.1 METODY ŘEŠENÍ PŘÍČINKOVÝCH ČAR

Příčinkové čáry veličin M , V , N , R lze stanovit např.:

- metodou analytickou pomocí vzorců odvozených podle zásad statiky
- metodou kinematickou s použitím kinematické definice příčinkové čáry
- kombinací metody analytické a kinematické

4.1.1 KINEMATICKÁ DEFINICE A TVAR PŘÍČINKOVÉ ČÁRY

„Příčinková čára veličiny S v průřezu x konstrukce je ohybová čára, vyvozená na uvažované konstrukci jednotkovým impulsem v průřezu x duálním k veličině S , na kterém koná práci jen uvažovaná veličina S .“ [4] Tuto definici můžeme dokázat použitím virtuálních prací – přemístění.

4.1.2 POROVNÁNÍ METOD A MODELU

Pro porovnání jsem si zvolil umístění vlaku ve $\frac{3}{4}$ rozpětí dle obr. 14.

Výpočet reakcí ze statických podmínek rovnováhy:

$$\sum F_{ix} = 0 : R_{ax} = 0$$

$$\sum M_{ib} = 0 : -R_a \times L + q_1 \times L_1 \times \left(L_2 + \frac{L_1}{2}\right) + q_2 \times \frac{L_2^2}{2} = 0$$

$$R_a = \frac{q_1 \times L_1 \times \left(L_2 + \frac{L_1}{2}\right) + q_2 \times \frac{L_2^2}{2}}{L}$$

$$R_a = \frac{33,89 \times 2,762 \times \left(5,188 + \frac{2,762}{2}\right) + 61,82 \times \frac{5,188^2}{2}}{7,95} = \mathbf{181,992 \text{ kN}}$$

$$\sum M_{ia} = 0: \quad R_b \times L - Q_1 \times \frac{L_1^2}{2} - Q_2 \times L_2 \times \left(L_1 + \frac{L_2}{2}\right) = 0$$

$$R_b = \frac{q_1 \times \frac{L_1^2}{2} + q_2 \times L_2 \times \left(L_1 + \frac{L_2}{2}\right)}{L}$$

$$R_b = \frac{33,89 \times \frac{2,762^2}{2} + 61,82 \times 5,188 \times \left(2,762 + \frac{5,188}{2}\right)}{7,95} = \mathbf{232,334 \text{ kN}}$$

Kinematická metoda:

R_a :

$$\eta_1 = \frac{L_2 + \frac{L_1}{2}}{L} = \frac{5,188 + 1,381}{7,95} =$$

$$= 0,826289 \text{ m}$$

$$\eta_2 = \frac{L_2}{L} = \frac{5,188}{7,95} = 0,652579 \text{ m}$$

$$\eta_3 = \frac{\frac{L_2}{2}}{L} = \frac{2,594}{7,95} = 0,326289 \text{ m}$$

$$A_1 = L_1 \times \eta_2 + 0,5 \times L_1 \times (1 - \eta_2) =$$

$$= 2,762 \times 0,652579 + 0,5 \times 2,762 \times (1 - 0,652579) = 2,2822 \text{ m}^2$$

$$A_2 = 0,5 \times L_2 \times \eta_2 = 0,5 \times 5,188 \times 0,652579 = 1,6928 \text{ m}^2$$

$$R_a = q_1 \times A_1 + q_2 \times A_2 = 33,89 \times 2,2822 + 61,82 \times 1,6928 = \mathbf{181,993 \text{ kN}}$$

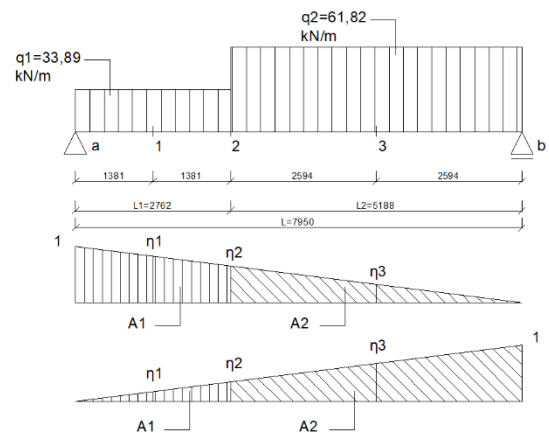
R_b :

$$\eta_1 = \frac{1,381}{7,95} = 0,173711 \text{ m}$$

$$\eta_2 = \frac{2,762}{7,95} = 0,347421 \text{ m}$$

$$\eta_3 = \frac{5,356}{7,95} = 0,673711 \text{ m}$$

$$A_1 = 0,5 \times L_1 \times \eta_2 = 0,5 \times 2,762 \times 0,347421 = 0,4798 \text{ m}^2$$



Obrázek 17. Umístění zatížení od vlaku

$$A_2 = L_2 \times \eta_2 + 0,5 \times L_2 \times (1 - \eta_2) =$$

$$= 5,188 \times 0,347421 + 0,5 \times 5,188 \times (1 - 0,347421) = 3,4952 \text{ m}^2$$

$$R_b = q_1 \times A_1 + q_2 \times A_2 = 33,89 \times 0,4798 + 61,82 \times 3,4952 = \mathbf{232,334 \text{ kN}}$$

Porovnání výsledků:

Nosník č.5		Ra [kN]	Rb [kN]
Statické podmínky rovnováhy		181,992	232,334
Kinematická metoda		181,993	232,334
Axis	Model č. 1	181,992	232,334
	Model č. 2	181,992	232,334
	Model č. 3	139,307	172,939

Tabulka 2. Porovnání reakcí

Můžeme vidět, že výsledky u prutových modelů se liší pouze u kinematické metody při výpočtu reakce R_a , to mohlo způsobit zaokrouhlení součinitelů η a ploch A . Reakce u modelu č. 3 vychází podstatně jinak, to je způsobené příčným roznosem a celkovým spolupůsobením desky.

Součtem všech reakcí na konstrukci si můžeme ověřit, zda-li jsem vytvořil stejné zatížení na všech modelech.

	Kol. lože	Vítr 0,25_L	Boční ráz 1,0_P	Vlak_0,75_P
Model č.1	367,296	50,634	16,125	1967,816
Model č.2	367,296	50,634	16,125	1967,816
Model č.3	367,290	51,862	17,095	1967,810

Tabulka 3. Součet reakcí pro jednotlivé modely

Výsledky se liší v řádech kN, můžeme tedy uvažovat, že zatížení bylo stanoveno na všech modelech stejně.

4.2 ROZBOR ÚČINKŮ POHYBLIVÉHO ZATÍŽENÍ

4.2.1 WINKLEROVO KRITÉRIUM

Pro použití všech kritérií jsem si upravil model zatížení na nesymetrickou soustavu břemen viz obr. 18.

Podle Winklerova kritéria určíme kritické břemeno F_k soustavy břemen, které umístíme do průřezu x prostého nosníku, abychom vyvodili $\max M_x$. Uvažujeme takové břemeno, jehož přičtením ostatních břemen

zleva dosáhne nebo přestoupí hodnoty Rx/L , kde R je výslednice soustavy sil, x je vzdálenost zleva zkoumaného průřezu a L je rozpětí nosníku. [4] Jelikož se jedná o prostý nosník, zvolíme $x=L/2$. [4]

Výpočet:

$$R = \sum F_i$$

$$R = 33,89 + 98,91 \times 4 =$$

$$R = 429,53 \text{ kN}$$

$$R \frac{x}{L} = 429,53 \times \frac{L}{2} = 214,765 \text{ kN}$$

Hodnotu Rx/L přestoupí výslednice prvních tří břemen.

$$R_3 = Q_1 + Q_2 + Q_3 = 33,89 + 98,91 + 98,91 = 231,71 > 214,765 \text{ kN.}$$

$$\eta_3 = \frac{x \times x'}{L} = \frac{\frac{L}{2} \times \frac{L}{2}}{L} = \frac{L}{4} = \frac{7,95}{4} = 1,9875 \text{ m}$$

$$\eta_1 = 0,2875, \quad \eta_2 = \eta_4 = 1,1875, \quad \eta_5 = 0,3875$$

$$\max M_x = \sum Q_i \times \eta_i$$

$$\max M_x = 33,89 \times 0,2875 + 98,91 \times (1,1875 \times 2 + 1,9875 + 0,3875)$$

$$\max M_x = 479,566 \text{ kNm}$$

4.2.2 BŘEMENOVÉ KRITÉRIUM

Na prostém nosníku je pohybující se soustava břemen. Snažíme se soustavu umístit tak, aby se pod břemenem F_k vyvodil maximální ohybový moment M_{Fk} .

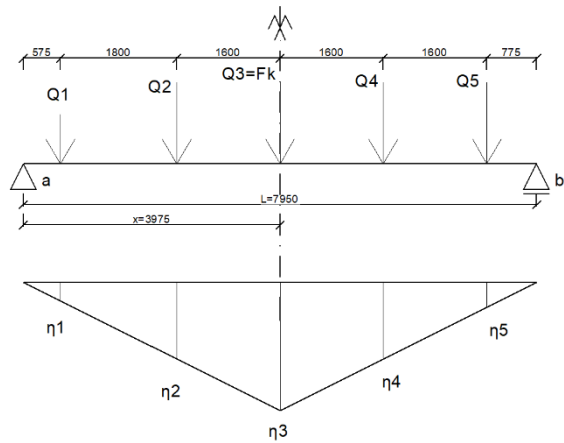
Z momentové podmínky rovnováhy k bodu b

$$\sum M_{ib} = 0 : \quad -R_a \times L + R \times (L - u) = 0$$

můžeme odvodit vztah pro podporovou reakci

$$R_a = R \times \frac{L - u}{L}$$

kde R je výslednice soustavy břemen a u je vzdálenost od levého podpory a .



Obrázek 18. Soustava břemen

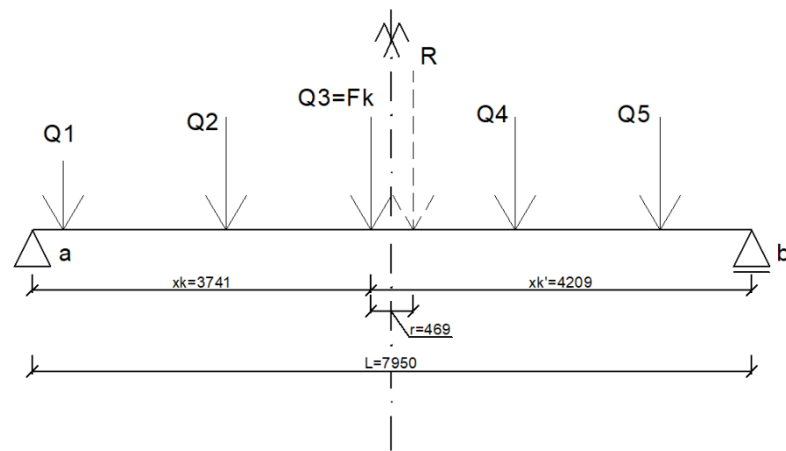
Extrém funkce pro $M_{F_k}(u)$ získáme z podmínky

$$\frac{dM_{F_k}(u)}{du} = \frac{R}{L}[L - u - (u - r)].$$

Po úpravě dostáváme tzv. břemenové kritérium

$$x_k = L - u = u'$$

„Maximální ohybový moment $\max M_{F_k}$ pod daným (zvoleným) břemenem F_k vznikne tehdy, jestliže paprsek břemen F_k je od jedné podpory prostého nosníku stejně vzdálen jako paprsek výslednice R celé soustavy břemen od podpory druhé nebo též, když střed nosníku pólí vzdálenost r paprsků břemene F_k a výslednice R soustav sil.“ [4]



Obrázek 19. Břemenové kritérium

Výpočet:

Výslednice R soustavy břemen se rovná

$$R = 429,53 \text{ kN}$$

a působí ve vzdálenosti r od paprsku břemene $F_k \equiv Q_3$, kterou stanovíme pomocí Varignonovy věty.

$$r = -\frac{M_s}{R} = -\frac{33,89 \times 3,4 + 98,91 \times 1,6 - 98,91 \times 1,6 - 98,91 \times 3,2}{429,53} = 0,469 \text{ m}$$

Vzdálenost břemene Q_3 od levé a pravé podpory nosníku

$$x_k = \frac{L}{2} - \frac{r}{2} = \frac{7,95}{2} - \frac{0,469}{2} = 3,741 \text{ m}$$

$$x'_k = L - x_k = 7,95 - 3,741 = 4,209 \text{ m} = u$$

Hodnota $\max M_{F_{Q_3}}$ podle zásad statiky a vztahů:

$$R_a = 202,089 \text{ kN}$$

$$\max M_{Q3} = 202,089 \times 3,741 - 33,89 \times 3,4 - 98,91 \times 1,6 = \mathbf{482,533 \text{ kNm}}$$

4.2.3 ŠOLÍNOVO KRITÉRIUM

Prostý nosník dimenzujeme na největší ohybový moment. Abychom toho docílili u prostého nosníku, umístíme vlak do poloviny rozpětí.

Někdy se ale stává, je-li aritmeticky střední břemeno F_k značně menší než jeho sousední břemena, že $\max M$ vzniká pod břemenem nacházejícím se vlevo nebo vpravo od aritmeticky středního břemene. Zda tento případ nastane nebo nenastane, rozhodne Šolínovo kritérium. [4]

Označíme vzdálenosti po sobě jdoucích břemen $\overline{F_{k-1}F_k} = c$, $\overline{F_kF_{k+1}} = d$ a vymežeme na nosníku úseky

$$m = x_k - \frac{c}{4}, \quad n = x_k + \frac{d}{4}.$$

Na délkách m , l , n nosníku jsou výslednice břemen

$$R_m = \sum F_i, \quad R = \sum F_i, \quad R_n = \sum F_i$$

a hodnoty průměrných zatížení

$$q_m = \frac{R_m}{m}, \quad q = \frac{R}{l}, \quad q_n = \frac{R_n}{n}.$$

Je-li splněna nerovnost

$$q_m < q < q_n$$

to znamená, je-li průměrné zatížení q prostého nosníku větší než průměrné zatížení q_m a menší než q_n , potom můžeme říct, že řešení je správné a pod daným břemenem vzniká největší ohybový moment. [4]

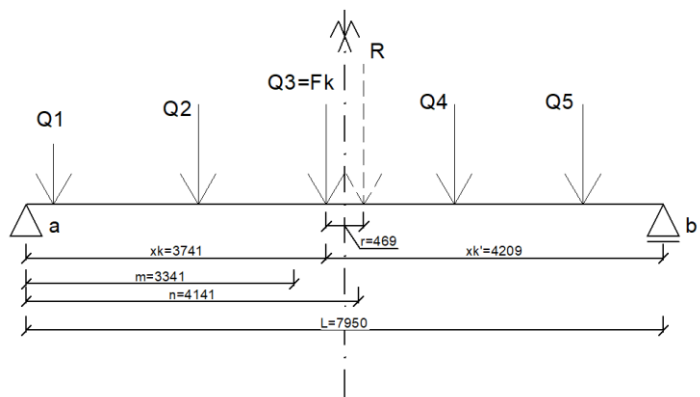
Výpočet:

$$c=d=1,6 \text{ m}$$

$$m = 3,741 - \frac{1,6}{4} = 3,341 \text{ m}$$

$$n = 3,741 + \frac{1,6}{4} = 4,141 \text{ m}$$

$$\begin{aligned} R_m &= 33,89 + 98,91 = \\ &= 132,8 \text{ kN} \end{aligned}$$



Obrázek 20. Šolínovo kritérium

$$R_n = 33,89 + 98,91 + 98,91 = 231,71 \text{ kN}$$

$$q_m = \frac{132,8}{3,341} = 39,749 \text{ kN/m}$$

$$q = \frac{429,53}{7,95} = 54,029 \text{ kN/m}$$

$$q_n = \frac{231,71}{4,141} = 55,956 \text{ kN/m}$$

Podmínka:

$$\mathbf{39,749 < 54,029 < 55,956 \text{ kN/m}}$$

Šolínovo kritérium je splněno, maxmax M vzniká pod silou Q_3 a rovná se 482,656 kNm.

5 PRŮHYB OHÝBANÝCH NOSNÍKŮ A POOTOČENÍ PRŮŘEZU

V této kapitole si ručně vypočítám průhyby a pootočení podpor Mohrovou a Clebshovou metodou. Vyšetřovaným nosníkem je nosník č. 5.

5.1 MOHROVA METODA

Díky Mohrově metodě dokážeme určit průhyby nebo pootočení staticky určitých nosníků bez využití diferenciálního a integrálního počtu převedením úlohy na statické řešení nosníků. [5]

$$\begin{aligned}
 w(x) & \Leftrightarrow \tilde{M}(x) \\
 \varphi(x) = w'(x) = \frac{dw(x)}{dx} & \Leftrightarrow \tilde{V}(x) = \tilde{M}'(x) = \frac{d\tilde{M}(x)}{dx} \\
 \kappa(x) = w''(x) = -\frac{M(x)}{EI(x)} & \Leftrightarrow -\tilde{q}(x) = \frac{d\tilde{V}'(x)}{dx} = \tilde{M}''(x)
 \end{aligned}$$

+kinematické okrajové podmínky

+statické okrajové podmínky

Určení průhybu $w(x)$ ze známého průběhu ohybových momentů $M(x)$ je analogické výpočtu ohybových momentů $\tilde{M}(x)$ od příčného zatížení $\tilde{q}(x)$. Je nutno zaměnit kinematické podmínky ze statické. Řešení se tak provádí na „fiktivním nosníku“, tj. nosník se zaměněnými okrajovými podmínkami

$$w''(x) = -\frac{M(x)}{EI(x)} \Leftrightarrow \tilde{q}(x) = \tilde{M}''(x)$$

neboli

$$\tilde{q}(x) = +\frac{M(x)}{EI(x)}$$

Postup řešení:

1. Zjistíme průběhy vnitřních sil na skutečném nosníku od skutečného zatížení, tím získáme obrazec ohybového momentu
2. Vytvoříme fiktivní nosník přidružený ke skutečnému nosníku, ten zatížíme momentovým obrazcem
3. Spočítáme hodnoty ohybového momentu $\tilde{M}(x) \Rightarrow w(x)$ a posouvající síly $\tilde{V}(x) \Rightarrow \varphi(x)$. [5]

Skutečný nosník		Fiktivní nosník	
Kinematické okrajové podmínky	Typ uložení	Statické okrajové podmínky	Typ uložení
$w = 0$ $\varphi \neq 0$		$\tilde{M} = 0$ $\tilde{V} \neq 0$	
$w \neq 0$ $\varphi \neq 0$		$\tilde{M} \neq 0$ $\tilde{V} \neq 0$	
$w = 0$ $\varphi = 0$		$\tilde{M} = 0$ $\tilde{V} = 0$	
$w = 0$ $\varphi \neq 0$		$\tilde{M} = 0$ $\tilde{V} = 0$	
$w \neq 0$ $\varphi \neq 0$		$\tilde{M} \neq 0$ $\tilde{V} \neq 0$	

Obrázek 21. Přehled vzájemně si odpovídajících okrajových podmínek

1. Výpočet:

V prvním výpočtu se zaměříme na zatížení spojitě viz obr. 22.

Plochu A_1 spočítáme jen jako plochu trojúhelníku, zbytek plochy paraboly je zanedbatelně malý a neměl by vliv na výsledek.

$$R_a = q_1 \times 0,775 + q_2 \times 3,2$$

$$R_a = 33,89 \times 0,775 + 61,82 \times 3,2 = 224,089 \text{ kN}$$

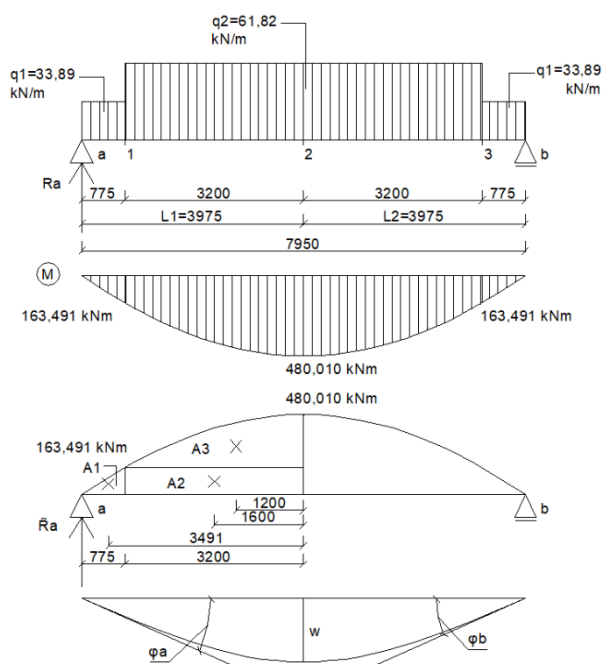
$$M_{\left(x=\frac{L}{2}\right)} = 224,089 \times 3,975 - 33,89 \times 0,775 \times \left(3,2 + \frac{0,775}{2}\right) - 61,82 \times \frac{3,2^2}{2} = 480,010 \text{ kNm}$$

$$A_1 = \frac{1}{2} \times 0,775 \times 163,491 = 63,353$$

$$A_2 = 3,2 \times 163,491 = 523,171$$

$$A_3 = \frac{2}{3} \times 3,2 \times (480,01 - 163,491) = 675,241$$

$$\tilde{R}_a = A_1 + A_2 + A_3 = 63,353 + 523,171 + 675,241 = 1261,765 \text{ kN}$$



Obrázek 22. Mohrova metoda - spojitě zatížení

$$\widetilde{M}_{\left(x=\frac{L}{2}\right)} = \widetilde{R}_a \times 3,975 - A_1 \times 3,491 - A_2 \times 1,6 - A_3 \times 1,2$$

$$\widetilde{M}_{\left(x=\frac{L}{2}\right)} = 1261,765 \times 3,975 - 63,353 \times 3,458 - 523,171 \times 1,6 - 675,241 \times 1,2$$

$$\widetilde{M}_{\left(x=\frac{L}{2}\right)} = \mathbf{3149,078 \text{ kNm}}$$

$$\widetilde{V} = \widetilde{R}_a = \mathbf{1261,765 \text{ kN}}$$

$$w\left(\frac{L}{2}\right) = \frac{\widetilde{M}_{\left(x=\frac{L}{2}\right)} \times 10^3}{E_s \times I_s} = \frac{3149,078 \times 10^3}{210 \times 10^9 \times 3,95 \times 10^{-4}} = \mathbf{37,964 \text{ mm}}$$

$$\varphi = \frac{\widetilde{V} \times 10^3}{E_s \times I_s} = \frac{1261,765 \times 10^3}{210 \times 10^9 \times 3,95 \times 10^{-4}} = \mathbf{15,211 \times 10^{-3} \text{ rad}}$$

2. Výpočet:

Ve druhém výpočtu se zaměřím na zatížení, které jsem použil u Břemenového kritéria, tedy osamělé síly viz obr. 23. Postup stejný jako u prvního výpočtu, nebudu tedy rozepisovat celý výpočet.

$$R_a = 202,089 \text{ kN}$$

$$A_1 = 11,749 \quad A_2 = 124,042$$

$$A_3 = 272,482 \quad A_4 = 594,672$$

$$A_5 = 88,690 \quad A_6 = 0,811$$

$$A_7 = 11,291 \quad A_8 = 27,637$$

$$A_9 = 594,399 \quad A_{10} = 164,520$$

$$A_{11} = 367,181 \quad A_{12} = 115,777$$

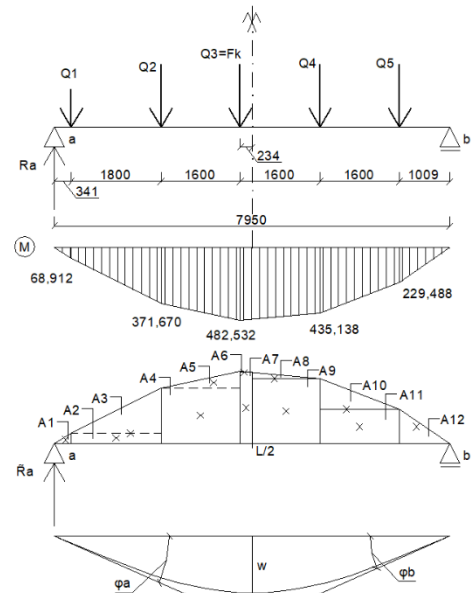
$$\widetilde{R}_a = 1215,728 \text{ kN}$$

$$\widetilde{R}_b = 1257,523 \text{ kN}$$

$$\widetilde{M}_{\left(x=\frac{L}{2}\right)} = 3090,07 \text{ kNm}$$

$$w\left(\frac{L}{2}\right) = \frac{\widetilde{M}_{\left(x=\frac{L}{2}\right)} \times 10^3}{(EI)_2} = \frac{3090,07 \times 10^3}{210 \times 10^9 \times 3,95 \times 10^{-4}} = \mathbf{37,252 \text{ mm}}$$

$$\varphi_a = \frac{\widetilde{R}_a \times 10^3}{(EI)_2} = \frac{1215,728 \times 10^3}{210 \times 10^9 \times 3,95 \times 10^{-4}} = \mathbf{14,656 \times 10^{-3} \text{ rad}}$$

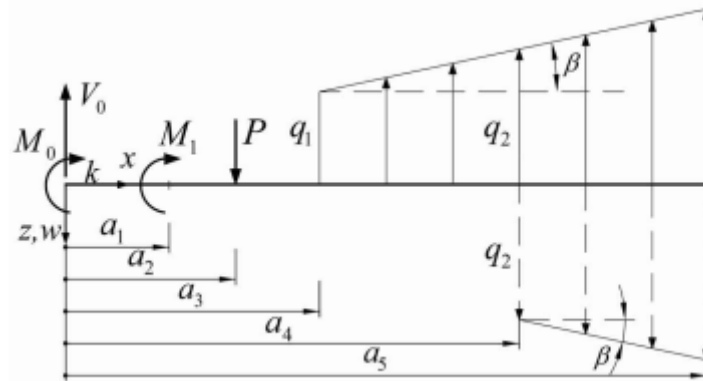


Obrázek 23. Mohrova metoda - osamělé síly

$$\varphi_b = \frac{\widetilde{R}_b \times 10^3}{(EI)_2} = \frac{1257,523 \times 10^3}{210 \times 10^9 \times 3,95 \times 10^{-4}} = \mathbf{15,160 \times 10^{-3} rad}$$

5.2 CLEBSHOVA METODA

Další metodou pro výpočet pootočení podpor a průhyb nosníku je Clebshova metoda. Ta vychází z předpokladu, že lze provést takové řešení, kde budou integrační konstanty stejné pro všechny části nosníku. To platí jen tehdy, kdy se v rovnicích momentů, pootočení a průhybů při přechodu z předchozího intervalu k následujícímu intervalu opakují všechny členy z předchozích intervalů. Nové členy, které vstoupí do rovnice jsou nulové na levé hranici svého intervalu. [5]



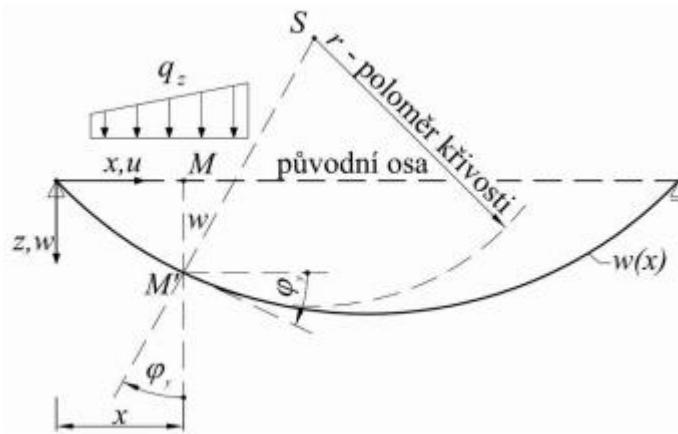
Obrázek 24. Clebshova metoda

Při sestavování diferenciálních rovnic ohybové čáry a při jejich integraci je nutno dodržet následující pravidla:

1. počátek souřadného systému volíme v krajním levém bodě vyšetřovaného nosníku a platí pro všechny intervaly
2. rovnici $M_y(x)$ sestavujeme od všech působících sil nalevo od sledovaného průřezu
3. v případě ukončení spojitého zatížení je nutno jej uvažovat až do konce nosníku a od místa ukončení zatížení počítat kompenzující zatížení, taktéž až do konce nosníku.
4. integrace se provádí bez odstranění závorek

Metoda vychází z diferenciálních rovnic ohybové čáry.

Průhyby a pootočení ohýbaných nosníků je důležité zjistit kvůli posouzení nosníku na mezní stav použitelnosti, tedy jestli jsou průhyby a pootočení ve stanovených mezích. [5]



Obrázek 25. Ohybová čára prostého nosníku

Máme-li dostatečně štíhlý prut, jeho stav je po deformaci určen tvarem ohybové čáry, tj. křivka do které přejde původní osa nosníku od vlivu zatížení. Funkci průhybu označíme w . Hodnota této funkce je kladná, jestliže bude posunutí odpovídat bodu ve směru osy z , viz obr. 25. Pootočení průřezu φ_y je úhel, pod kterým se každý průřez pootočí vzhledem ke své původní poloze. Jelikož se jedná o úhly malých hodnot, můžeme uvažovat, že

$$\tan \varphi_y = \frac{dw}{dx},$$

potom, můžeme říct, že úhel pootočení φ_y je roven derivaci funkce průhybu $w(x)$ podle souřadnice x

$$\varphi_y \approx \frac{dw}{dx}.$$

Požaduje se, aby funkce průhybu $w(x)$ byla po celé délce osy nosníku spojitá, včetně její derivace. Deformace každé části nosníku je dána zkřivením ohýbané osy, tj. křivostí. V obecném případě lze využít rovnici

$$\frac{1}{r(x)} = \frac{M_y(x)}{EI_y(x)}.$$

Je znám také výraz pro křivost rovinné čáry ve tvaru

$$\frac{1}{r(x)} = \pm \frac{\frac{d^2w}{dx^2}}{\left[1 + \left(\frac{dw}{dx}\right)^2\right]^{\frac{3}{2}}},$$

kde r je poloměr křivosti dle obr. 22. Spojením rovnic obdržíme vztah

$$-\frac{M_y(x)}{EI_y(x)} = \frac{\frac{d^2w}{dx^2}}{\left[1 + \left(\frac{dw}{dx}\right)^2\right]^{\frac{3}{2}}}$$

Této rovnici říkáme přesná diferenciální rovnice ohybové čáry nosníku. Řešení je poměrně složité, ale v praktických úlohách dochází k malým průhybům. Lze tedy přesnou rovnici nahradit přibližnou

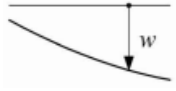
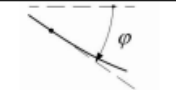
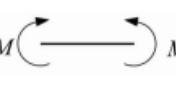
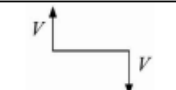
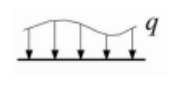
$$1 + \left(\frac{dw}{dx}\right)^2 = 1 + \tan^2 \varphi_y.$$

Při malých průhybech vychází druhá mocnina tangenty malého úhlu 1° zhruba 0,00003, můžeme tedy napsat

$$w'' = \frac{d^2w}{dx^2} = -\frac{M_y(x)}{EI_y(x)}$$

Tuto rovnici nazýváme diferenciální rovnice ohybové čáry 2. řádu. Dalším dvojnásobným derivováním obdržíme diferenciální rovnici 4. řádu

$$w^{IV} = \frac{d^4w}{dx^4} = -\frac{q_z(x)}{EI_y}$$

Označení a kladný smysl	Veličina	Diferenciální závislost	
		Obecný případ	Pro $EI = \text{konst.}$
	průhyb	w	
	pootočení	$\varphi = w'$	
	ohybový moment	$M = -EIw''$	
	posouvající síla	$V = -(EIw''')$	$V = -EIw''''$
	příčné zatížení	$q = -(EIw^{IV})$	$q = -EIw^{IV}$

Obrázek 26. Diferenciální závislost veličin nosníku




U staticky určitých nosníků lze určit průhyb od ohybových momentů $M(x)$ přímo ze statických okrajových podmínek rovnováhy. Poté stačí dvakrát integrovat a dostaneme rovnici průhybu. [5]

$$w'' = -\frac{M_y}{EI_y}$$

$$w' = \varphi = -\int \frac{M_y}{EI_y} dx + C_1$$

$$w = -\int \left[\int \frac{M_y}{EI_y} \right] + C_1 x + C_2.$$

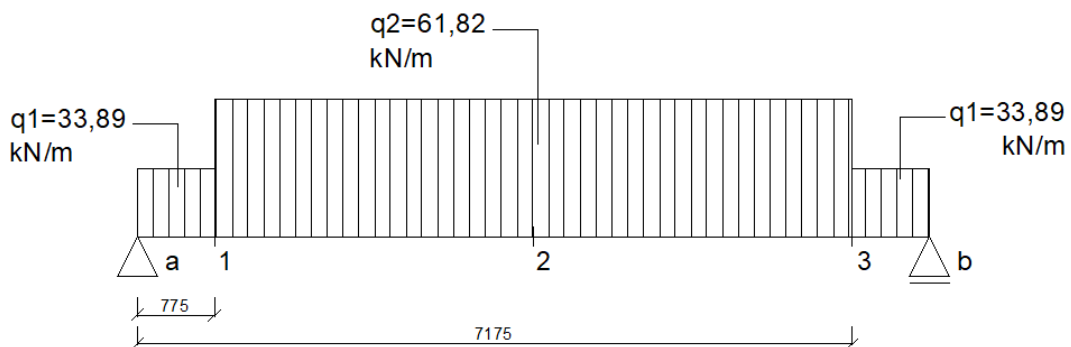
Integrační konstanty lze získat z okrajových podmínek rovnováhy.

$w = 0$		Prostě podepřený okraj
$w' = 0$ $w = 0$		Vetknutý okraj
$w' = 0$		Na ose symetrie

Obrázek 27. Kinematické okrajové podmínky

1. Výpočet:

Pro spojitě zatížení viz obr. 28.



Obrázek 28. Clebshova metoda – spojitě zatížení

$$R_a = 224,089 \text{ kN}$$

$$M = R_a \times x - q_1 \times \frac{x^2}{2} \Big| - (q_2 - q_1) \times \frac{(x - 0,775)^2}{2} \Big| + (q_2 - q_1) \times \frac{(x - 7,175)^2}{2}$$

$\mapsto x > 0,775$ $\mapsto x > 7,175$

Rovnice pootočení:

$$E_s I_s \varphi \times 10^{-3} = C_1 - R_a \times \frac{x^2}{2} + q_1 \times \frac{x^3}{6} \Big| + (q_2 - q_1) \times \frac{(x - 0,775)^3}{6}$$

$\mapsto x > 0,775$

$$\Big| - (q_2 - q_1) \times \frac{(x - 7,175)^3}{6}$$

$$\mapsto x > 7,175$$

Rovnice průhybu:

$$E_s I_s w \times 10^{-3} = C_1 \times x + C_2 - R_a \times \frac{x^3}{6} + q_1 \times \frac{x^4}{24} \Big| + (q_2 - q_1) \times \frac{(x - 0,775)^4}{24}$$

$\mapsto x > 0,775$

$$\Big| - (q_2 - q_1) \times \frac{(x - 7,175)^4}{24}$$

$$\mapsto x > 7,175$$

Zjištění integračních konstant:

$w_{(x=0)}=0$ \rightarrow dosadíme jen do 1. části rovnice

$$0 = C_1 \times 0 + C_2 - R_a \times 0 \quad \Rightarrow C_2 = 0$$

$w_{(x=7,95)}=0$ \rightarrow dosadíme do celé rovnice

$$0 = C_1 \times 7,95 - 224,089 \times \frac{7,95^3}{6} + 33,89 \times \frac{7,95^4}{24} +$$

$$+ (61,82 - 33,89) \times \frac{(7,95 - 0,775)^4}{24} - (61,82 - 33,89) \times \frac{(7,95 - 7,175)^4}{24}$$

$$C_1 = 1263,081$$

Po dosazení do rovnice pootočení vychází

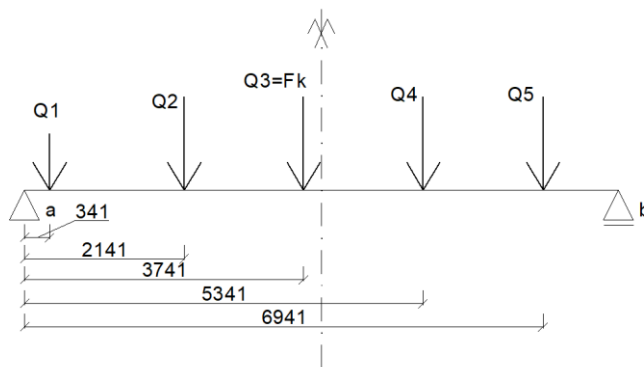
$$\varphi = \frac{1263,081 \times 10^3}{E \times I} = \mathbf{15,227 \times 10^{-3} \text{ rad}}$$

Po dosazení do rovnice průhybu vychází

$$w = \frac{3149,571 \times 10^3}{E \times I} = \mathbf{0,037970 \text{ m}}$$

2. Výpočet:

Pro osamělé síly viz obr. 29.



Obrázek 29. Clebshova metoda - osamělé síly

$$R_a = 202,089 \text{ kN}$$

$$M = R_a \times x | - Q_1 \times (x - 0,341) | - Q_2 \times (x - 2,141) | + Q_3 \times (x - 3,741)$$

$$\rightarrow x > 0,341 \quad \rightarrow x > 2,141 \quad \rightarrow x > 3,741$$

$$| - Q_4 \times (x - 5,341) | - Q_5 \times (x - 6,941)$$

$$\rightarrow x > 5,341 \quad \rightarrow x > 6,941$$

Rovnice pootočení:

$$(EI)_2 \varphi \times 10^{-3} = C_1 - R_a \times \frac{x^2}{2} | + Q_1 \times \frac{(x - 0,341)^2}{2} | + Q_2 \times \frac{(x - 2,141)^2}{2}$$

$$\rightarrow x > 0,341 \quad \rightarrow x > 2,141$$

$$| + Q_3 \times \frac{(x - 3,741)^2}{2} | + Q_4 \times \frac{(x - 5,341)^2}{2} | + Q_5 \times \frac{(x - 6,941)^2}{2}$$

$$\rightarrow x > 3,741 \quad \rightarrow x > 5,341 \quad \rightarrow x > 6,941$$

Rovnice průhybu:

$$(EI)_2 w \times 10^{-3} = C_1 x + C_2 - R_a \times \frac{x^3}{6} | + Q_1 \times \frac{(x - 0,341)^3}{6} | + Q_2 \times \frac{(x - 2,141)^3}{6}$$

$$\rightarrow x > 0,341 \quad \rightarrow x > 2,141$$

$$| + Q_3 \times \frac{(x - 3,741)^3}{6} | + Q_4 \times \frac{(x - 5,341)^3}{6} | + Q_5 \times \frac{(x - 6,941)^3}{6}$$

$$\rightarrow x > 3,741 \quad \rightarrow x > 5,341 \quad \rightarrow x > 6,941$$

Zjištění integračních konstant:

$w_{(x=0)}=0$ -> dosadíme jen do 1. části rovnice

$$0 = C_1 \times 0 + C_2 - R_a \times 0 \quad \Rightarrow C_2 = 0$$

$w_{(x=7,95)}=0$ -> dosadíme do celé rovnice

$$0 = C_1 \times 7,95 - 202,089 \times \frac{7,95^3}{6} + 33,89 \times \frac{(7,95 - 0,341)^3}{6} \\ + 98,91 \times \frac{(7,95 - 2,141)^3}{6} + 98,91 \times \frac{(7,95 - 3,741)^3}{6} \\ + 98,91 \times \frac{(7,95 - 5,341)^3}{6} + 98,91 \times \frac{(7,95 - 6,941)^3}{6}$$

$$C_1 = 1215,721$$

Po dosazení do rovnice průhybu vychází

$$w = \frac{3090,01 \times 10^3}{(EI)_2} = \mathbf{0,037251 \text{ m}}$$

Po dosazení do rovnice pootočení vychází

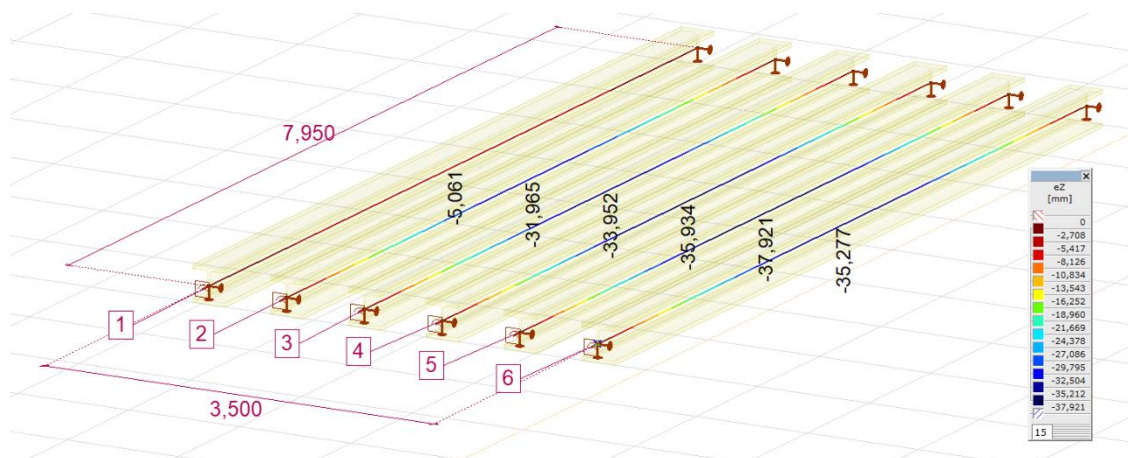
$$\varphi_a = \frac{1215,721 \times 10^3}{(EI)_2} = \mathbf{14,656 \times 10^{-3} \text{ rad}}$$

$$\varphi_b = \frac{1263,081 \times 10^3}{(EI)_2} = \mathbf{-15,160 \times 10^{-3} \text{ rad}}$$

6 POROVNÁNÍ MODELŮ

V této kapitole si porovnáme výsledky všech modelů od zatížení vlaku v polovině rozpětí s pravou excentricitou.

Výsledky porovnáme s ručními výpočty průhybu nosníku a pootočení podpor s modelem č. 1 a 2.



Obrázek 30. Průhyb modelu č.1

Porovnání s modelem č.1:

	Průhyb e_z [mm]	Pootočení podpor [rad]	
		φ_a	φ_b
Mohrova metoda spojitě zatížení	37,964	0,01521	
Clebshova metoda spojitě zatížení	37,970	0,01523	
Model č.1	37,921	0,01521	
Mohrova metoda osamělé síly	37,252	0,01466	0,01516
Clebshova metoda osamělé síly	37,251	0,01466	0,01516

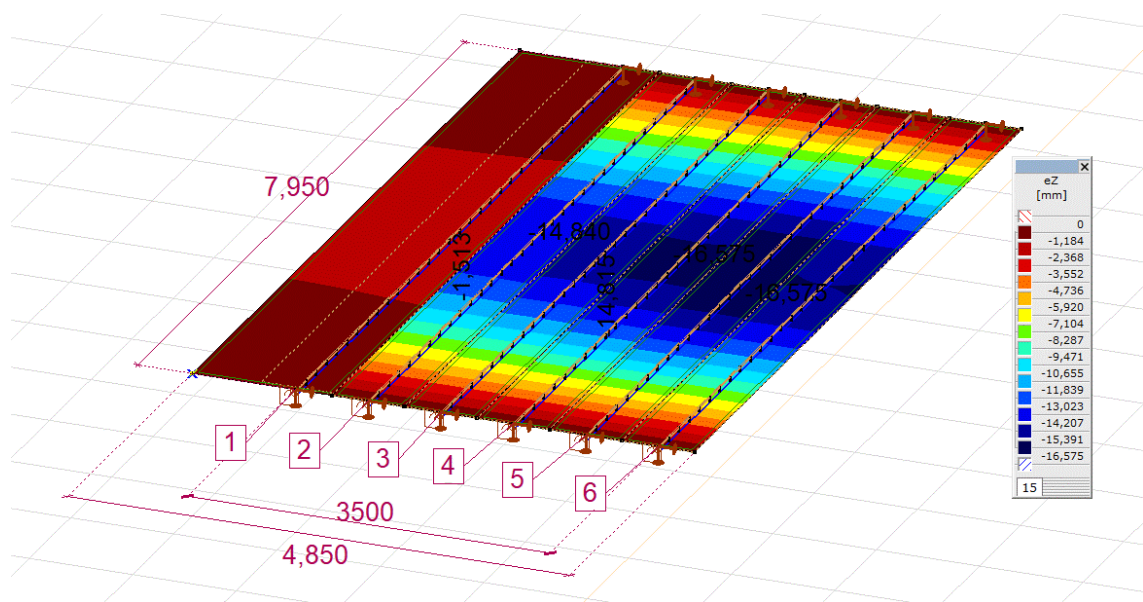
Tabulka 4. Porovnání výpočtů s modelem č. 1

Zde můžeme vidět, že výsledky se téměř neliší. Pro návrh je lepší počítat se spojitým zatížením, vyjdou nám horší průhyby. Pro posudek je to tzv. na stranu bezpečnou.

Porovnání s modelem č.2:

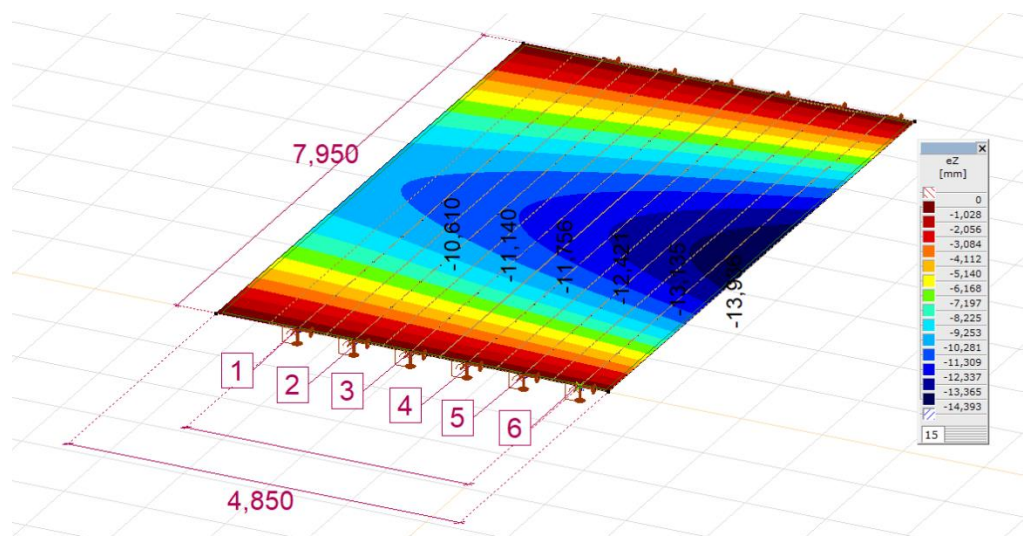
	Průhyb e_z [mm]	Pootočení podpor [rad]	
		φ_a	φ_b
Mohrova metoda spojité zatížení	16,199	0,00649	
Clebshova metoda spojité zatížení	16,201	0,00650	
Model č.2	16,547	0,00656	
Mohrova metoda osamělé síly	15,895	0,00625	0,00647
Clebshova metoda osamělé síly	15,895	0,00625	0,00650

Tabulka 5. Porovnání výpočtů s modelem č. 2



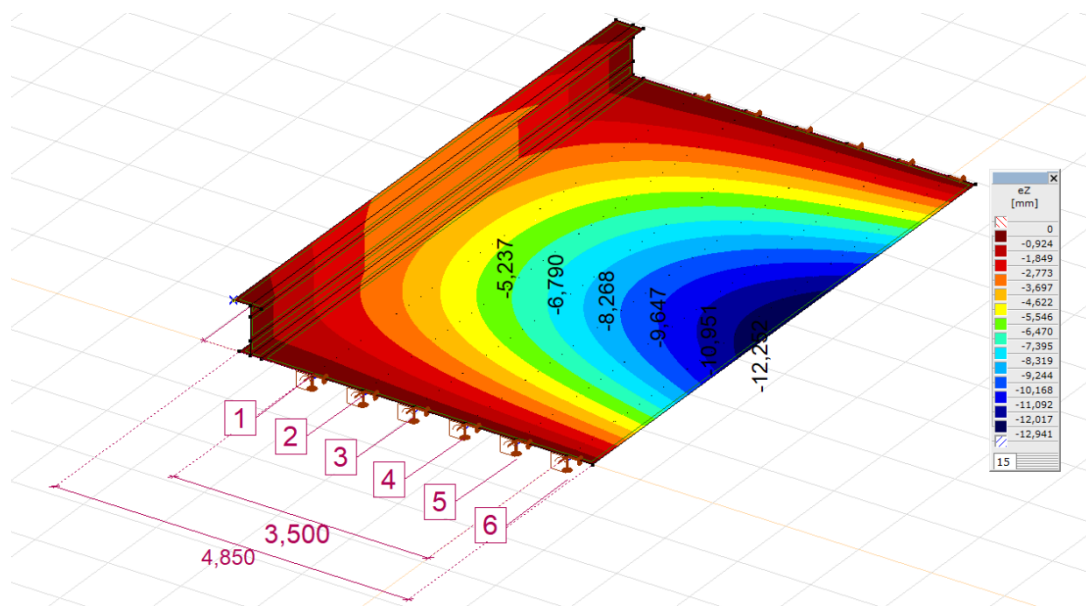
Obrázek 31. Průhyb modelu č. 2

Porovnání průhybu s modelem č. 3



Obrázek 32. Průhyb modelu č.3

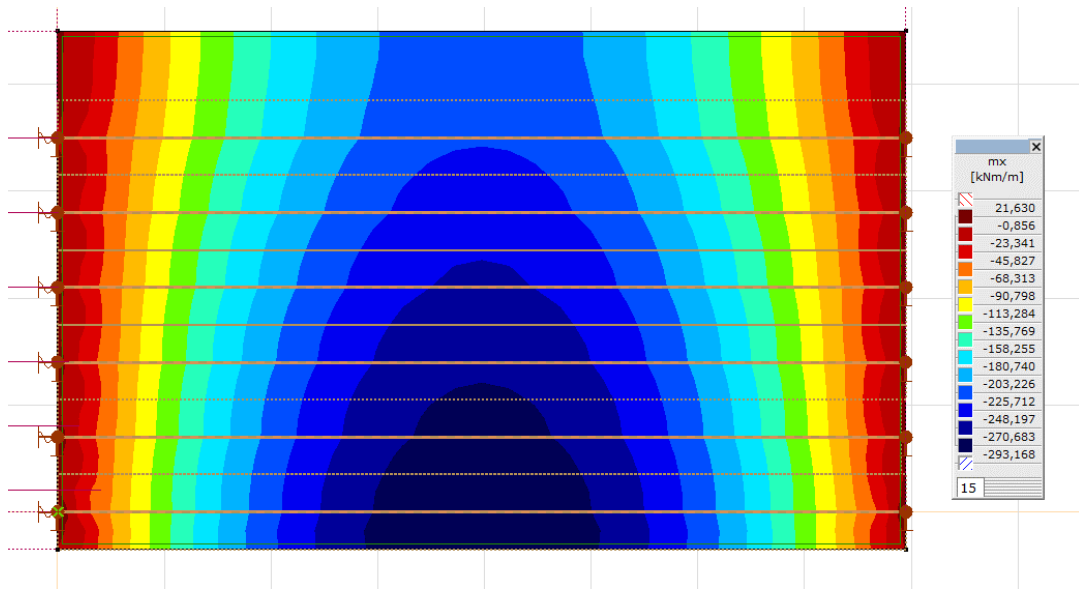
Průhyb u modelu č. 3 ve vyšetřovaném průřezu vychází 13,135 mm. Rozdíl cca 2 mm od modelu č. 2 je způsoben spolupůsobením celé desky v příčném směru. Dalším způsobem snížení průhybu je ztužení, např. přidáním na levý okraj římsy, která ztuží celou konstrukci dle obr. 33. Zde vychází průhyb ve vyšetřovaném místě 10,951 mm.



Obrázek 33. Model č. 4

Další zajímavostí u deskostěnových modelů je fakt, že na konstrukci vychází normálová síla, i když zatížení je jen svislé. To je dáno působením betonové desky a ocelového nosníku na excentricitě vůči těžišti celkového

průřezu. Od normálových sil poté vzniká moment nad podporami viz obr. 34.



Obrázek 34. Ohybový moment kolem osy y – Model č. 3

6.1 NAPĚTÍ

V této kapitole se zaměříme na normálové a smykové napětí na ocelovém nosníku. Pro normálové napětí proběhne ruční výpočet v polovině rozpětí nosníku č. 5 k okraji horní pásnice. Pro smykové napětí proběhne výpočet nad podporou nosníku č. 5 do těžiště nosníku.

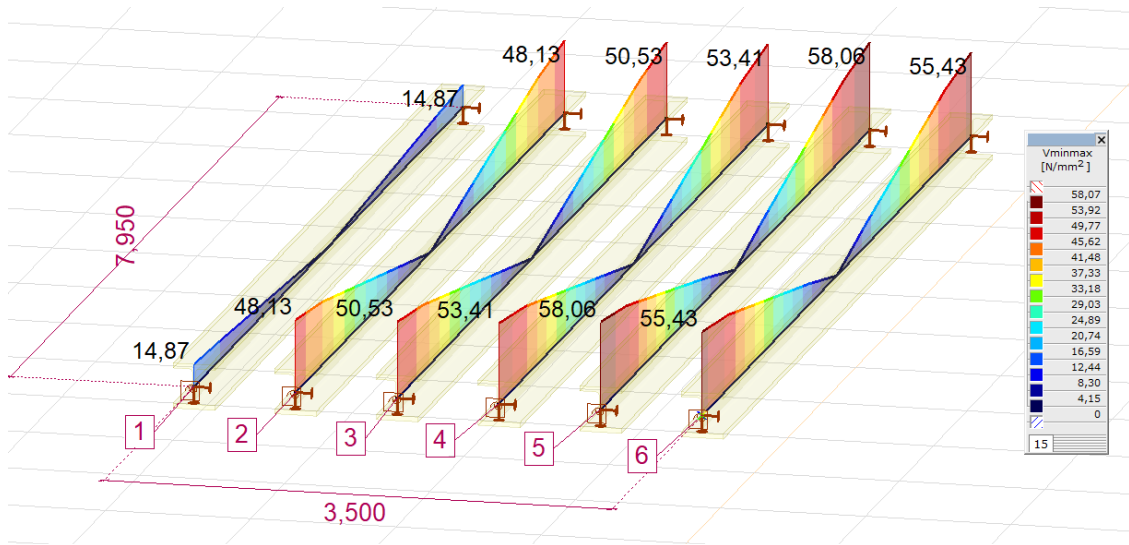
Výpočet:

$$\sigma = s = \frac{M_y}{I_y} \times z = \frac{480,10 \times 10^3}{3,95 \times 10^{-4}} \times 0,155 = 240,54 \text{ MPa}$$

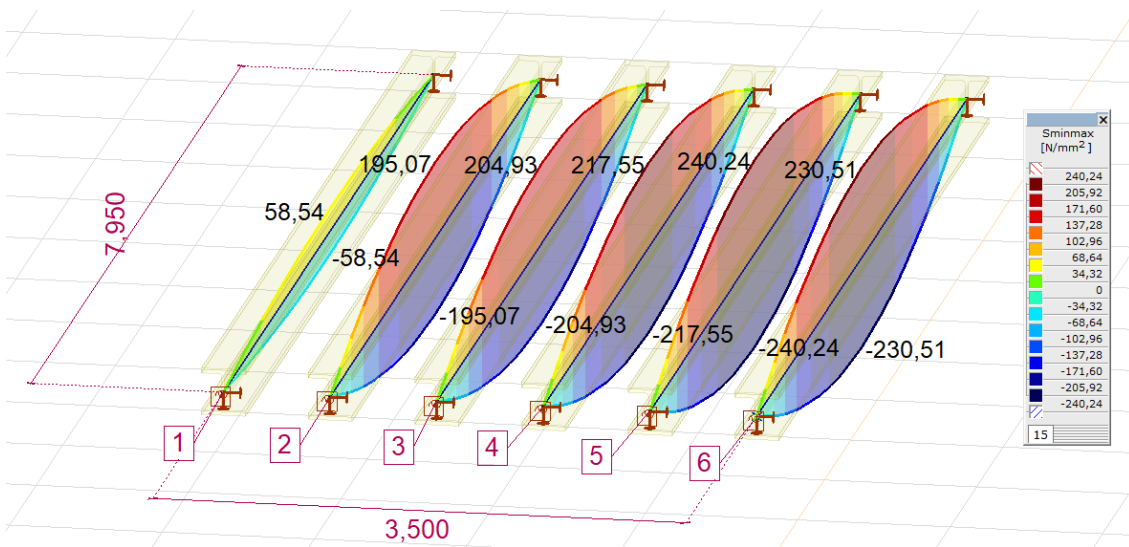
$$\tau = v = \frac{V_{Ed} \times \bar{S}_{y,max}}{I_y \times b} = \frac{224,089 \times 10^3 \times 1,477 \times 10^{-3}}{3,95 \times 10^{-4} \times 0,0185} = 57,49 \text{ MPa}$$

$$\bar{S}_{y,max} = A \times z_T = (0,288 * 0,033 + 0,122 \times 0,0185) \times 0,123 = 1,447 \times 10^{-3} \text{ m}^3$$

Model č. 1

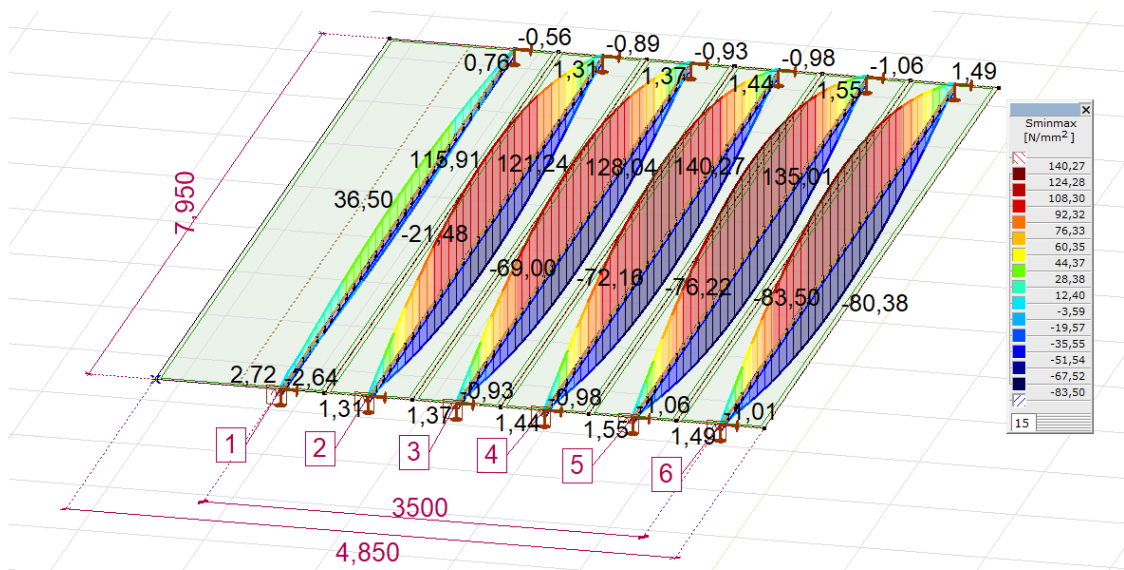


Obrázek 35. Normálové napětí - Model č. 1

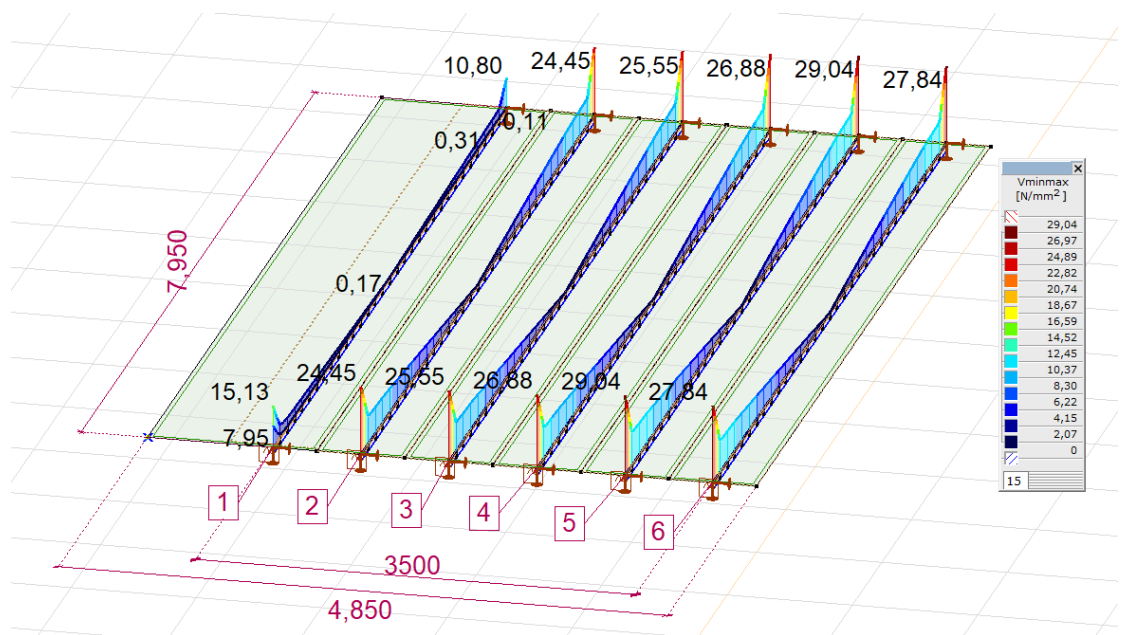


Obrázek 36. Smykové napětí - Model č. 2

Model č. 2

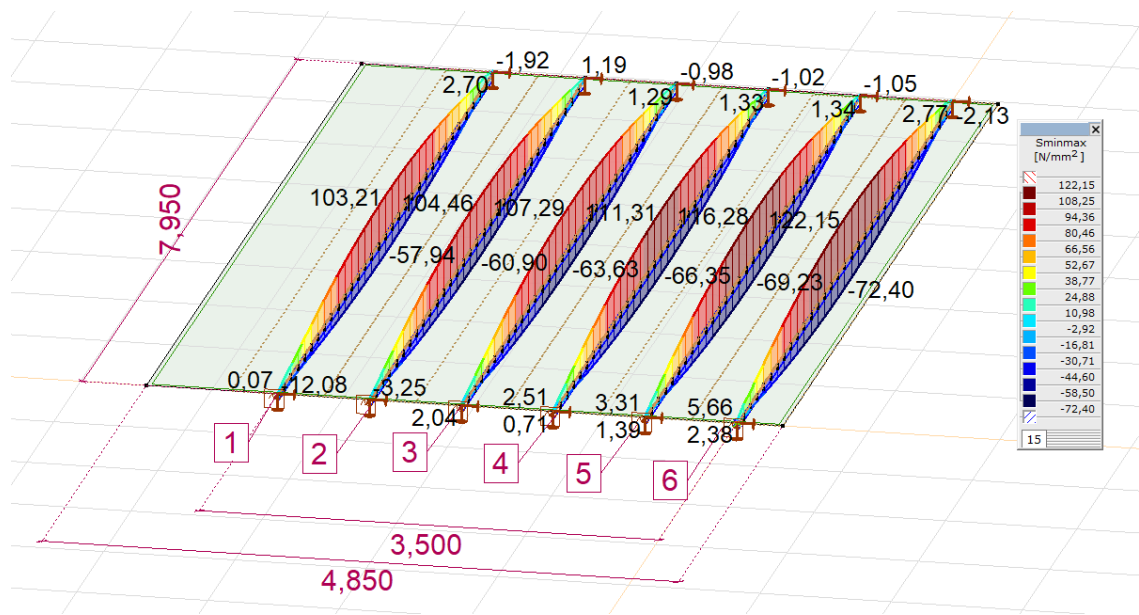


Obrázek 37. Normálové napětí - Model č. 2

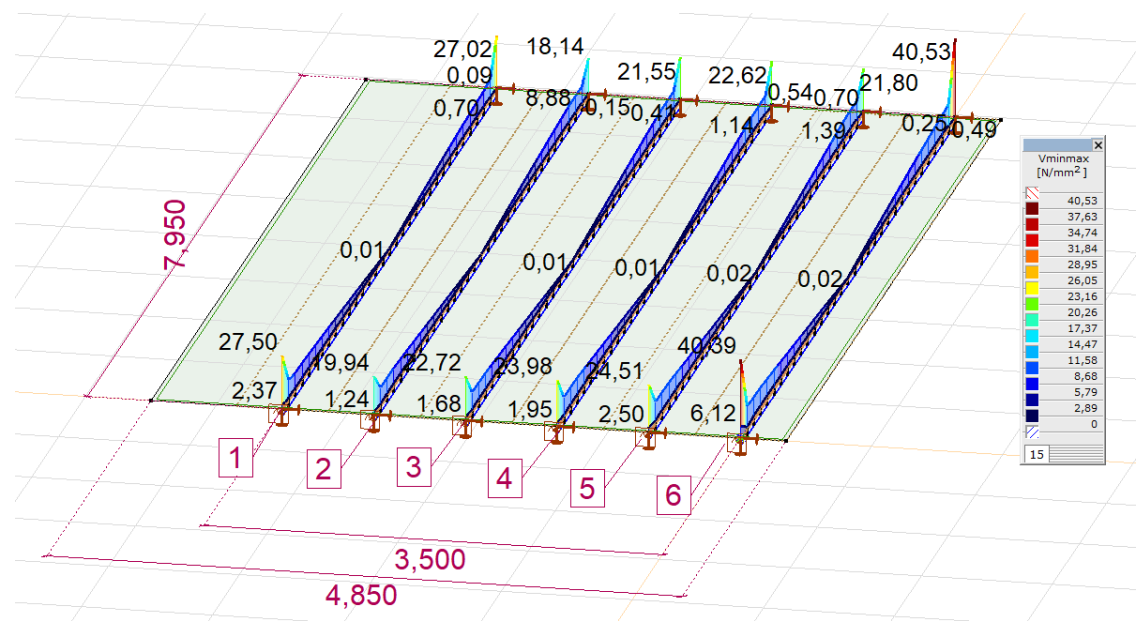


Obrázek 38. Smykové napětí - Model č. 2

Model č. 3

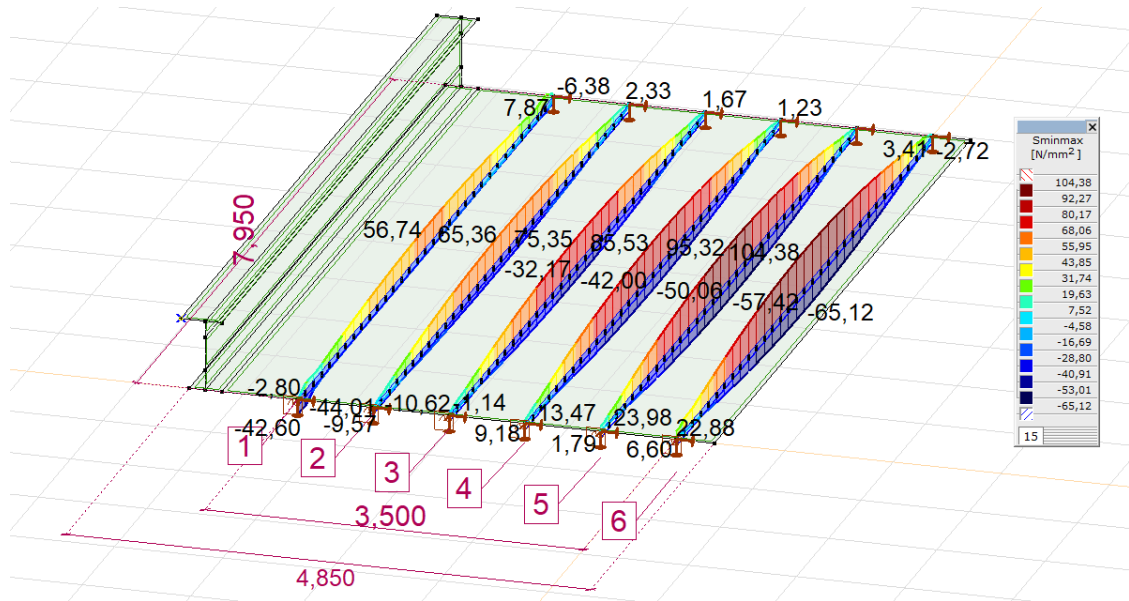


Obrázek 39. Normálové napětí - Model č. 3

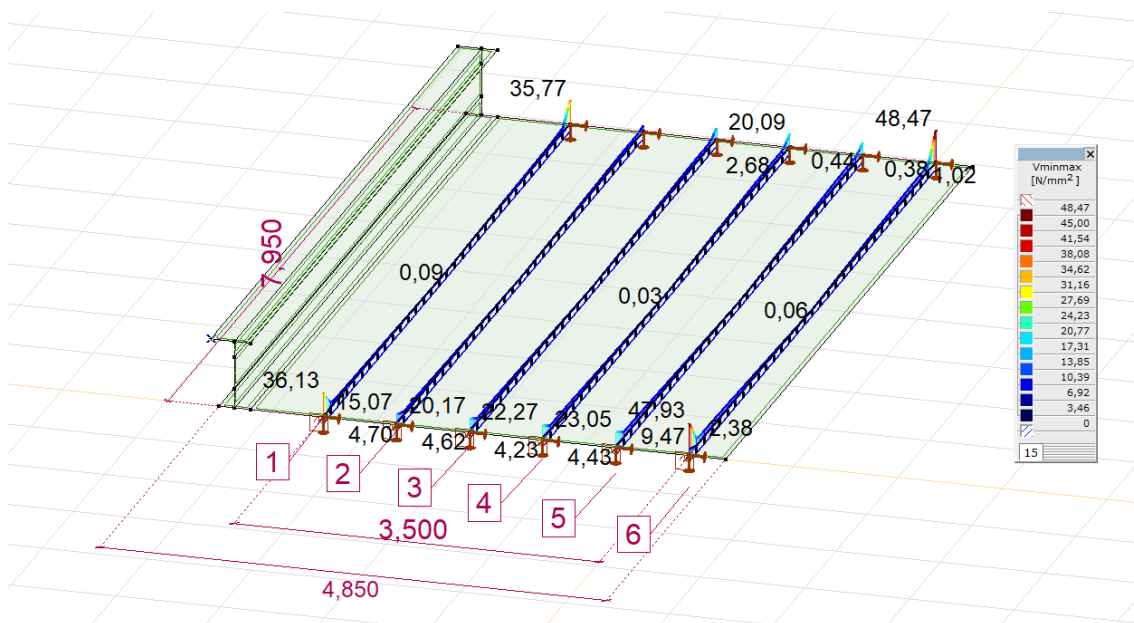


Obrázek 40. Smykové napětí - Model č. 3

Model č. 4:



Obrázek 41. Normálové napětí - Model č. 4



Obrázek 42. Smykové napětí - Model č. 4

Můžeme si všimnout, že jsou zde velké rozdíly mezi jednotlivými modely. Rozdíl v napětí je způsoben vnitřními silami a průřezovými charakteristikami, které se dost liší mezi prutovými a deskostěnovým modelem.

7 ZÁVĚR

Tato bakalářská práce se věnovala statické analýze železničního mostu. Co se zatížení tyče, bylo zde počítáno s vlastní vahou, stálým zatížením, zatížením způsobené vlakem a větrem.

Ruční výpočty byly porovnány s modely vytvořené v programu AxisVM X6, který řeší výpočty metodou konečných prvků. Ručně jsem spočítal maximální moment způsobený pohyblivým zatížením od vlaku podle modelu LM71. Zatížení jsem si upravil na soustavu nesymetrických osamělých břemen. Dále jsem spočítal průhyb a pootočení podpor Mohrovou metodou a Clebshovou metodou, jak pro soustavu osamělých břemen, tak pro spojitě zatížení. Ruční výpočty byly porovnány s jednotlivými modely. Výsledky ručních výpočtů byly srovnatelné s výsledky ze softwaru.

Mezi prutovými a deskostěnovými modely vznikaly velké rozdíly. Zvláště největší rozdíly byly u modelu č. 1 oproti ostatním modelům. To je dáno působením jen ocelových nosníků, jejich tuhost je tedy výrazně menší než u ostatních modelů. Další rozdíly byly způsobené spolupůsobením celé desky v příčném směru. Zatížení se tedy mohlo roznést na všechny i nezatížené nosníky, čímž si rozdělily vnitřní síly. Modely se chovají tak, jak jsem předpokládal. Můžu se tedy spolehnout na jejich výsledky. Deskostěnové modely považuji tedy za přesnější modely. Ale jejich výsledky je mnohem těžší ověřit s ručními výpočty.

8 SEZNAM POUŽITÉ LITERATURY

- [1] Předpis ČD: MVL 511- Nosné konstrukce železničních mostů se zabetonovanými ocelovými nosníky
- [2] Norma: ČSN EN 1991-2, Eurokód 1: Zatížení konstrukcí – Část 2: Zatížení mostů dopravou
- [3] Norma: ČSN EN1991-1-4, Eurokód 1: Zatížení konstrukcí – Část 1-4: Obecná zatížení – zatížení větrem
- [4] KADLČÁK, Jaroslav a Jiří KYTÝR. Statika stavebních konstrukcí I. Brno: VUTIUM, 1998. ISBN 80-214-1204-6.
- [5] ŠMIRÁK, Svatopluk. Pružnost a plasticita I. Brno: CERM, 1995. ISBN 80-214-1151-1.

9 SEZNAM OBRAZOVÝCH PŘÍLOH

Obrázek 1. Příčný řez mostu.....	11
Obrázek 2. Statické schéma konstrukce.....	12
Obrázek 3. Model č. 1.....	12
Obrázek 4. Model č. 2.....	13
Obrázek 5. Model č. 3.....	13
Obrázek 6. Model č. 4.....	14
Obrázek 7. Použité průřezy.....	14
Obrázek 8. Model LM-71 [2].....	17
Obrázek 9. Skutečný roznos zatížení [2].....	17
Obrázek 10. Roznos přes kolejové lože a desku.....	18
Obrázek 11. Excentricita zatížení od vlaku.....	18
Obrázek 12. Pořadnice.....	19
Obrázek 13. Boční ráz [2].....	20
Obrázek 14. Roznos bočního rázu v podélném směru [2].....	20
Obrázek 15. Roznos bočního rázu v příčném směru.....	20
Obrázek 16. Zatížení od větru [3].....	21
Obrázek 17. Umístění zatížení od vlaku.....	23
Obrázek 18. Soustava břemen.....	25
Obrázek 19. Břemenové kritérium.....	26
Obrázek 20. Šolínovo kritérium.....	27
Obrázek 21. Přehled vzájemně si odpovídajících okrajových podmínek [5].....	30
Obrázek 22. Mohrova metoda – spojitě zatížení.....	30
Obrázek 23. Mohrova metoda – osamělé síly.....	31
Obrázek 24. Clebshova metoda [5].....	32
Obrázek 25. Ohybová čára prostého nosníku [5].....	33
Obrázek 26. Diferenciální závislost veličin nosníku [5].....	34
Obrázek 27. Kinematické okrajové podmínky [5].....	35
Obrázek 28. Clebshova metoda – spojitě zatížení.....	35
Obrázek 29. Clebshova metoda – osamělé síly.....	37
Obrázek 30. Průhyb modelu č. 1.....	39
Obrázek 31. Průhyb modelu č. 2.....	40
Obrázek 32. Průhyb modelu č. 3.....	41
Obrázek 33. Průhyb modelu č. 4.....	41
Obrázek 34. Ohybový moment kolem osy y – Model č. 3.....	42
Obrázek 35. Normálové napětí – Model č. 1.....	43
Obrázek 36. Smykové napětí – Model č. 1.....	43
Obrázek 37. Normálové napětí – Model č. 2.....	44
Obrázek 38. Smykové napětí – Model č. 2.....	44
Obrázek 39. Normálové napětí – Model č. 3.....	45

Obrázek 40. Smykové napětí – Model č. 3.....	45
Obrázek 41. Normálové napětí – Model č. 4.....	46
Obrázek 42. Smykové napětí – Model č. 4.....	46

10 SEZNAM TABULEK

Tabulka 1. Pořadnice zatížení	19
Tabulka 2. Porovnání reakcí	24
Tabulka 3. Součet reakcí pro jednotlivé modely	24
Tabulka 4. Porovnání výpočtů s modelem č. 1	39
Tabulka 5. Porovnání výpočtů s modelem č. 2	40